

# NanOS

Nano Operating System for Disposable Nodes

## Manual Técnico

Versión 0.7

---

### Incluye:

- Arquitectura del Sistema
- Protocolo de Feromonas
- NERT: Ephemeral Reliable Transport
- Enrutamiento Hebbiano
- Stigmergia: Feromonas Digitales
- Black Box Distribuida
- Hive Bridge: Integración con micrOS
- Sintonización Genética (v0.7)
- Nodos Judas: Honeypots Activos (v0.7)
- Canales Encubiertos (v0.7)
- Guía de Implementación

---

Enero 2026

**NanOS Technical Manual**  
Version 0.5

Copyright © 2026 NanOS Project

Este documento está licenciado bajo MIT License.  
Se permite la copia, modificación y distribución.

*“Los nodos mueren, el enjambre vive.”*



# Índice general

<b>I NanOS Core</b>	<b>13</b>
<b>1. Introducción</b>	<b>15</b>
1.1. ¿Qué es NanOS? . . . . .	15
1.2. Inspiración Biológica . . . . .	15
1.3. Plataformas Soportadas . . . . .	16
<b>2. Arquitectura del Sistema</b>	<b>17</b>
2.1. Estructura de Capas . . . . .	17
2.2. Componentes del Kernel . . . . .	17
2.2.1. Gestión de Memoria . . . . .	17
2.2.2. Timer y Scheduling . . . . .	17
2.3. Ciclo de Vida del Nodo . . . . .	18
2.3.1. Condiciones de Apoptosis . . . . .	18
<b>3. Sistema de Roles</b>	<b>19</b>
3.1. Roles Definidos . . . . .	19
3.2. Transición de Roles . . . . .	19
3.3. Algoritmo de Elección de Reina . . . . .	20
<b>4. Protocolo de Feromonas</b>	<b>21</b>
4.1. Tipos de Pheromones . . . . .	21
4.2. Formato de Paquete . . . . .	21
4.2.1. Paquete Estándar (64 bytes) . . . . .	21
4.2.2. Paquete Compacto ARM (24 bytes) . . . . .	22
4.3. Autenticación HMAC . . . . .	22
<b>5. Mecanismos de Red</b>	<b>23</b>
5.1. Bloom Filter para Deduplicación . . . . .	23
5.2. Gossip Protocol . . . . .	23
5.3. Gradient Routing . . . . .	24
5.4. Enrutamiento Hebbiano (v0.5) . . . . .	24
5.4.1. Peso Sináptico . . . . .	24
5.4.2. Regla de Aprendizaje . . . . .	25
5.4.3. Fórmula de Costo Neural . . . . .	25
<b>6. Stigmergia: Feromonas Digitales (v0.5)</b>	<b>27</b>
6.1. Inspiración Biológica . . . . .	27
6.2. Tipos de Feromonas . . . . .	27
6.3. Estructura de Datos . . . . .	28
6.4. Decaimiento Temporal . . . . .	29

## ÍNDICE GENERAL

---

6.5. Modificación de Costo de Movimiento . . . . .	29
6.6. Propagación de Feromonas . . . . .	30
6.7. API de Stigmergia . . . . .	30
<b>7. Black Box Distribuida: “El Último Aliento” (v0.5)</b>	<b>31</b>
7.1. Problema: Evidencia Forense Perdida . . . . .	31
7.2. Solución: El Último Aliento . . . . .	31
7.3. Contenido del Testamento . . . . .	32
7.4. Flujo de Operación . . . . .	33
7.5. Almacenamiento de Testamentos . . . . .	33
7.6. API de Black Box . . . . .	34
7.7. Ejemplo de Investigación Forense . . . . .	34
<b>8. Sistema Inmune Artificial (AIS) (v0.6)</b>	<b>37</b>
8.1. Conceptos Biológicos . . . . .	37
8.2. Estructura del Detector . . . . .	37
8.3. Algoritmo de Selección Negativa . . . . .	38
8.4. Extracción de Antígenos . . . . .	38
8.5. Tipos de Detección . . . . .	39
8.6. Perfil “Self” (Qué es Normal) . . . . .	39
8.7. Integración con Otros Sistemas . . . . .	40
8.8. API del Sistema Inmune . . . . .	40
8.9. Eventos AIS para Black Box . . . . .	40
<b>9. Polimorfismo de Código: “El Camaleón” (v0.6)</b>	<b>43</b>
9.1. Motivación . . . . .	43
9.2. Componentes del Polimorfismo . . . . .	43
9.2.1. ASLR (Address Space Layout Randomization) . . . . .	43
9.2.2. Stack Canaries . . . . .	44
9.2.3. Firma Binaria Única . . . . .	44
9.2.4. Timing Jitter . . . . .	45
9.3. Flujo de Inicialización . . . . .	45
9.4. API Principal . . . . .	45
9.5. Respuesta a Violación de Canary . . . . .	46
9.6. Diversity Score . . . . .	47
<b>10. Validación de Hardware: “El Centinela del Silicio” (v0.6)</b>	<b>49</b>
10.1. Motivación . . . . .	49
10.2. Fases del Sistema . . . . .	49
10.3. Validación de Sensores . . . . .	50
10.4. Canaries de Memoria . . . . .	50
10.5. Integridad de Flash . . . . .	50
10.6. Tipos de Violación . . . . .	51
10.7. Trust Score . . . . .	51
10.8. API Principal . . . . .	51
<b>11. Sintonización Genética (v0.7)</b>	<b>53</b>
11.1. Visión General . . . . .	53
11.2. Estructura del Genoma . . . . .	53
11.3. Recepción de Configuración . . . . .	54
11.4. Reporte de Telemetría . . . . .	54
11.5. API del Receptor Genético . . . . .	55

---

<b>12.Nodos Judas: Honeypots Activos (v0.7)</b>	<b>57</b>
12.1. Concepto . . . . .	57
12.2. Máquina de Estados . . . . .	57
12.3. Triggers de Activación . . . . .	58
12.4. Estructura de Captura . . . . .	58
12.5. Integración con AIS . . . . .	58
12.6. Transmisión de Forensics . . . . .	59
12.7. API del Sistema Judas . . . . .	59
<b>13.Canales Encubiertos (v0.7)</b>	<b>61</b>
13.1. Visión General . . . . .	61
13.2. Canal Óptico (LED-to-Light Sensor) . . . . .	61
13.2.1. Características . . . . .	61
13.2.2. Codificación Manchester . . . . .	61
13.3. Canal Acústico (Buzzer-to-Mic) . . . . .	62
13.3.1. Características . . . . .	62
13.3.2. Modulación FSK . . . . .	62
13.4. Estructura del Frame . . . . .	62
13.5. API de Canales Encubiertos . . . . .	63
13.6. Consideraciones de Seguridad . . . . .	63
<b>II Protocolo NERT</b>	<b>65</b>
<b>14.Visión General de NERT</b>	<b>67</b>
14.1. Motivación . . . . .	67
14.2. Clases de Confiabilidad . . . . .	67
<b>15.Formatos de Paquete NERT</b>	<b>69</b>
15.1. Header Estándar (20 bytes) . . . . .	69
15.2. Campo de Flags . . . . .	69
15.3. Estructura Completa del Paquete . . . . .	70
<b>16.Criptografía</b>	<b>71</b>
16.1. Algoritmos Utilizados . . . . .	71
16.2. Derivación de Claves . . . . .	71
16.3. Ventana de Gracia para Rotación de Claves . . . . .	72
16.4. Construcción del Nonce . . . . .	72
<b>17.Mecanismos de Confiabilidad</b>	<b>73</b>
17.1. Máquina de Estados de Conexión . . . . .	73
17.2. Two-Way Handshake . . . . .	73
17.3. Selective ACK (SACK) . . . . .	73
17.4. Retransmisión con Backoff Exponencial . . . . .	74
<b>18.Forward Error Correction</b>	<b>75</b>
18.1. Esquema XOR Parity . . . . .	75
18.2. Capacidad de Recuperación . . . . .	75
<b>19.Multi-Path Transmission</b>	<b>77</b>
19.1. Selección de Rutas . . . . .	77

## ÍNDICE GENERAL

---

<b>20.Hive Bridge: Integración con micrOS</b>	<b>79</b>
20.1. Arquitectura del Enjambre Híbrido . . . . .	79
20.2. Detección de la Reina . . . . .	79
20.3. Servicio NERT en micrOS . . . . .	80
20.4. Comunicación Bidireccional . . . . .	80
20.5. Polling en micrOS . . . . .	80
20.6. Verificación de Conectividad . . . . .	81
20.7. Comandos de la Reina . . . . .	81
<b>III Guía de Implementación</b>	<b>83</b>
<b>21.Compilación y Despliegue</b>	<b>85</b>
21.1. Requisitos . . . . .	85
21.2. Compilación x86 . . . . .	85
21.3. Compilación ARM . . . . .	85
21.4. Compilación ESP32 . . . . .	85
<b>22.API de Programación</b>	<b>87</b>
22.1. Inicialización . . . . .	87
22.2. Envío de Mensajes . . . . .	87
<b>23.Debugging y Monitoreo</b>	<b>89</b>
23.1. Estadísticas de NERT . . . . .	89
23.2. Métricas Clave . . . . .	89
<b>A. Constantes de Configuración</b>	<b>91</b>
<b>B. Glosario</b>	<b>95</b>
<b>Sobre Este Documento</b>	<b>99</b>

# Índice de figuras

1.1.	Analogía biológica de NanOS . . . . .	15
2.1.	Arquitectura de capas de NanOS . . . . .	17
2.2.	Ciclo de vida de un nodo NanOS . . . . .	18
3.1.	Sistema de roles en el enjambre . . . . .	19
3.2.	Fases del algoritmo de elección . . . . .	20
4.1.	Estructura del paquete pheromone estándar . . . . .	21
4.2.	Proceso de generación de HMAC . . . . .	22
5.1.	Visualización del Bloom filter con slots rotativos . . . . .	23
5.2.	Decaimiento de probabilidad en el protocolo gossip . . . . .	24
5.3.	Enrutamiento por gradiente hacia la reina . . . . .	24
5.4.	Reglas de aprendizaje Hebbiano . . . . .	25
6.1.	Analogía biológica de Stigmergia . . . . .	27
6.2.	Tipos de feromonas y su efecto en el costo de movimiento . . . . .	28
6.3.	Nibble packing: 4 tipos de feromona en 2 bytes por celda . . . . .	28
6.4.	Decaimiento de feromonas: -1 cada segundo . . . . .	29
6.5.	Efecto de feromonas en pathfinding: el enjambre rodea zonas peligrosas . . . . .	29
6.6.	Propagación de feromona DANGER . . . . .	30
7.1.	Escenario de ataque sin Black Box: la evidencia se pierde al morir el nodo . . . . .	31
7.2.	Comparación: sin Black Box la evidencia se pierde, con Black Box sobrevive . . . . .	32
7.3.	Transmisión del Último Aliento a vecinos de confianza . . . . .	32
7.4.	Códigos de muerte y eventos de seguridad registrados en el testamento . . . . .	33
7.5.	Flujo del sistema Black Box . . . . .	33
7.6.	Supervivencia de evidencia: con 3 receptores, la probabilidad de pérdida es solo 0.1% . . . . .	35
8.1.	Mapeo de conceptos inmunológicos a la implementación NanOS . . . . .	37
8.2.	Flujo del algoritmo de Selección Negativa . . . . .	38
8.3.	Perfil “Self” vs anomalía en el espacio de características . . . . .	39
8.4.	Respuesta coordinada del AIS con otros sistemas NanOS . . . . .	40
11.1.	Flujo de Sintonización Genética entre Queen y Workers . . . . .	53
12.1.	Flujo de operación de un Nodo Judas . . . . .	57
12.2.	Máquina de estados del Nodo Judas . . . . .	57
13.1.	Comunicación por canal encubierto . . . . .	61

## ÍNDICE DE FIGURAS

---

14.1. Clases de confiabilidad de NERT . . . . .	67
15.1. Header NERT estándar de 20 bytes . . . . .	69
15.2. Estructura completa del paquete NERT . . . . .	70
16.1. Proceso de derivación de clave de sesión . . . . .	71
16.2. Mecanismo de ventana de gracia para rotación de claves . . . . .	72
16.3. Estructura del nonce de 96 bits . . . . .	72
17.1. Máquina de estados de conexión NERT (simplificada) . . . . .	73
17.2. Handshake de dos vías de NERT . . . . .	73
17.3. Ejemplo de Selective ACK . . . . .	74
17.4. Crecimiento del RTO con backoff exponencial . . . . .	74
18.1. Esquema FEC con paridad XOR . . . . .	75
19.1. Transmisión multi-path con rutas diversas . . . . .	77
20.1. Arquitectura Hive: micrOS como Queen coordinando nodos NanOS . . . . .	79
20.2. Flujo de comunicación entre micrOS y NanOS vía NERT . . . . .	80

# Índice de cuadros

1.1. Plataformas soportadas por NanOS . . . . .	16
3.1. Reglas de transición de roles . . . . .	19
4.1. Tipos de pheromones y sus características . . . . .	21
5.1. Ejemplos de cálculo de costo neural . . . . .	25
6.1. Tipos de feromonas digitales . . . . .	27
6.2. Ejemplos de modificación de costo . . . . .	29
8.1. Tipos de detección del AIS . . . . .	39
10.1. Tipos de violación de hardware . . . . .	51
14.1. Comparación de NERT con protocolos tradicionales . . . . .	67
15.1. Definición de bits del campo flags . . . . .	69
16.1. Algoritmos criptográficos de NERT . . . . .	71
18.1. Capacidad de recuperación del FEC . . . . .	75
20.1. Comandos de la reina a nodos worker . . . . .	81
21.1. Requisitos de compilación . . . . .	85
23.1. Umbrales de métricas para monitoreo . . . . .	89
A.1. Constantes de configuración de NanOS/NERT . . . . .	93

## ÍNDICE DE CUADROS

# **Parte I**

## **NanOS Core**



# Capítulo 1

## Introducción

### 1.1. ¿Qué es NanOS?

NanOS es un sistema operativo minimalista diseñado para **nodos desechables** en entornos de computación distribuida. A diferencia de los sistemas operativos tradicionales que buscan estabilidad y persistencia, NanOS abraza la **efímera naturaleza** de sus nodos.

#### Filosofía de Diseño

- **Sin persistencia:** No hay disco, no hay filesystem. Todo es RAM volátil.
- **Ciclo de vida limitado:** Los nodos tienen muerte programada (apoptosis).
- **Regeneración:** Al morir, renacen con nueva identidad.
- **Inteligencia colectiva:** El comportamiento emerge del enjambre.

### 1.2. Inspiración Biológica

NanOS se inspira en sistemas biológicos como colonias de hormigas y organismos unicelulares. Cada nodo es análogo a una célula que:

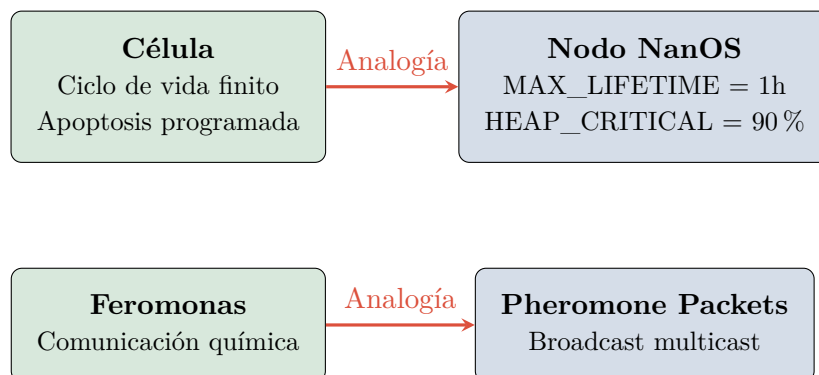


Figura 1.1: Analogía biológica de NanOS

### 1.3. Plataformas Soportadas

Plataforma	Arquitectura	RAM Típica	Uso
QEMU x86	i386/i686	128KB–1MB	Desarrollo/Testing
ARM Cortex-M3	ARMv7-M	64KB	IoT/Embedded
ESP32	Xtensa LX6	320KB	WiFi/Low-power
ARM64	ARMv8-A	1MB+	Servidores Edge

Cuadro 1.1: Plataformas soportadas por NanOS

## Capítulo 2

# Arquitectura del Sistema

### 2.1. Estructura de Capas

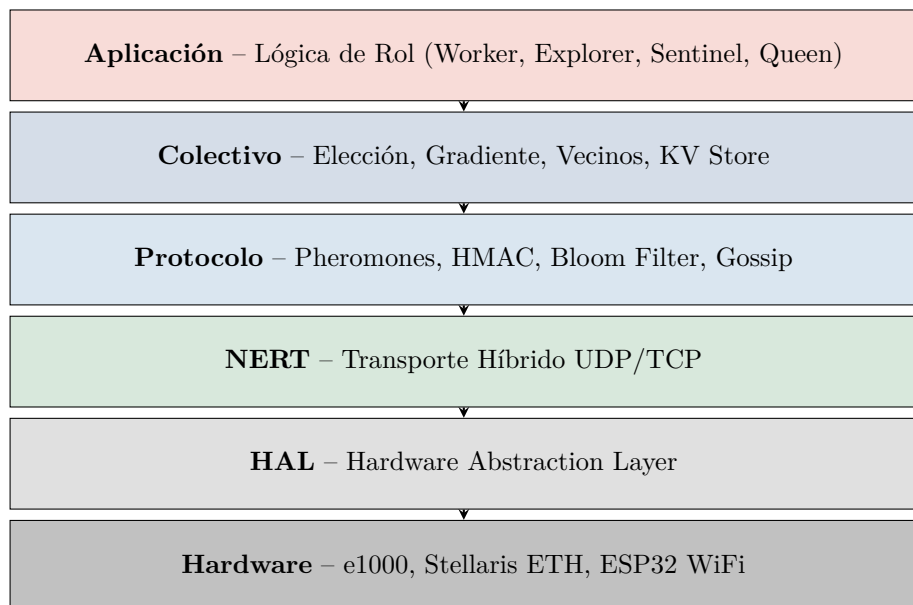


Figura 2.1: Arquitectura de capas de NanOS

### 2.2. Componentes del Kernel

#### 2.2.1. Gestión de Memoria

NanOS utiliza un heap simple sin fragmentación externa medianteallocación de bloques de tamaño fijo.

```
1 #define HEAP_SIZE          0x10000    /* 64KB heap */
2 #define HEAP_CRITICAL_PCT  90          /* Muerte si > 90% */
3 #define BLOCK_SIZE         64          /* Bloques de 64 bytes */
```

Listing 2.1: Constantes de memoria

#### 2.2.2. Timer y Scheduling

El kernel utiliza un timer de sistema (PIT en x86, SysTick en ARM) para:

- Mantener el contador de ticks global
- Verificar condiciones de apoptosis
- Rotar ventanas del Bloom filter
- Actualizar timeouts de conexiones

## 2.3. Ciclo de Vida del Nodo

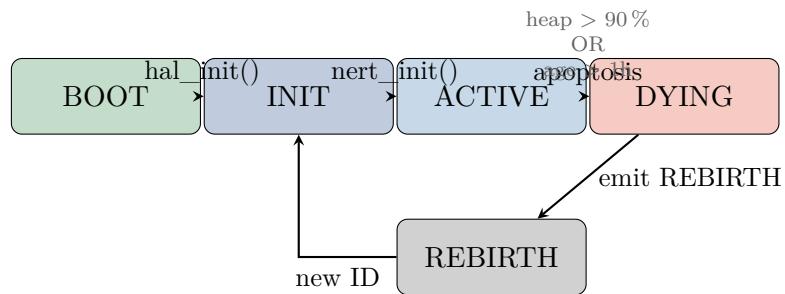


Figura 2.2: Ciclo de vida de un nodo NanOS

### 2.3.1. Condiciones de Apoptosis

Un nodo entra en estado DYING cuando:

1. **Memoria crítica:** Uso de heap > 90 %
2. **Antigüedad:** Tiempo de vida > MAX\_CELL\_LIFETIME (3600s)
3. **Comando externo:** Recibe PHEROMONE\_DIE autenticado

## Capítulo 3

# Sistema de Roles

### 3.1. Roles Definidos

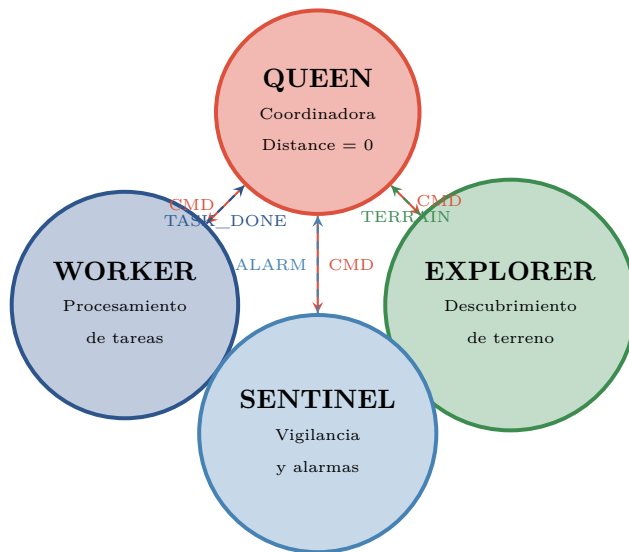


Figura 3.1: Sistema de roles en el enjambre

### 3.2. Transición de Roles

Los nodos pueden cambiar de rol dinámicamente basándose en:

- **Necesidades del enjambre:** Si hay déficit de exploradores, workers pueden transicionar
- **Muerte de la reina:** Se inicia proceso de elección
- **Comando de la reina:** Reasignación directa

Condición	Umbral	Acción
Sentinelas < 10 %	MIN_SENTINEL_RATIO	Worker → Sentinel
Exploradores < 10 %	MIN_EXPLORER_RATIO	Worker → Explorer
Sin reina detectada	QUEEN_TIMEOUT	Iniciar elección

Cuadro 3.1: Reglas de transición de roles

### 3.3. Algoritmo de Elección de Reina

El algoritmo de elección es **determinístico** y garantiza convergencia:

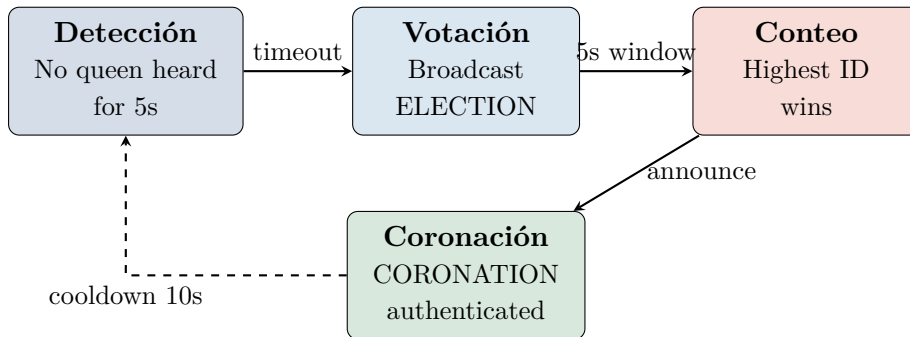


Figura 3.2: Fases del algoritmo de elección

```

1 struct election_state {
2     uint32_t election_id;          /* ID unico de eleccion */
3     uint32_t started_at;           /* Tick de inicio */
4     uint32_t my_vote;              /* A quien voto */
5     uint32_t highest_vote_id;      /* Maximo ID visto */
6     uint8_t participating;         /* Participando? */
7     uint8_t phase;                 /* 0=none, 1=voting, 2=counting */
8 };

```

Listing 3.1: Estructura de estado de elección

## Capítulo 4

# Protocolo de Feromonas

### 4.1. Tipos de Pheromones

Código	Nombre	Auth	Descripción
0x01	HELLO	No	Heartbeat con información de gradiente
0x02	DATA	No	Transporte de datos genérico
0x03	ALARM	No	Alerta de peligro detectado
0x04	ECHO	No	Respuesta/reconocimiento
0x05	ELECTION	No	Voto en elección de reina
0x06	CORONATION	Sí	Anuncio de nueva reina
0x10	QUEEN_CMD	Sí	Comando de la reina
0x20–0x22	KV_*	No	Key-Value store distribuido
0x30	TASK	No	Asignación de tarea
0x40	SENSOR	No	Lectura de sensor
0x70–0x73	MAZE_*	No	Exploración de laberinto
0x80–0x87	TERRAIN_*	No	Mapeo de terreno
0xFE	REBIRTH	Sí	Notificación de muerte/renacimiento
0xFF	DIE	Sí	Comando de terminación

---

Extensiones v0.7			
0x14	CONFIG_UPDATE	Sí	Actualización de genoma (Genetic Tuning)
0x15	TELEMETRY_REPORT	No	Reporte de telemetría a Queen
0x16	JUDAS_ENGAGE	No	Notifica enganche de atacante
0x17	JUDAS_CAPTURE	No	Payload de atacante capturado
0x18	JUDAS_FORENSICS	No	BlackBox forense antes de apoptosis

---

Cuadro 4.1: Tipos de pheromones y sus características

### 4.2. Formato de Paquete

#### 4.2.1. Paquete Estándar (64 bytes)

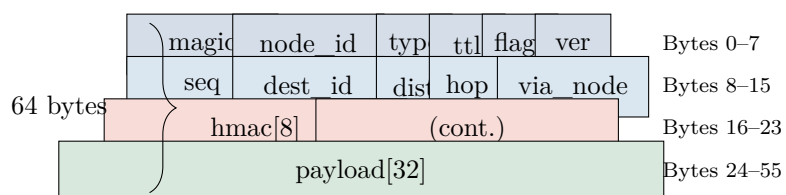


Figura 4.1: Estructura del paquete pheromone estándar

#### 4.2.2. Paquete Compacto ARM (24 bytes)

Para plataformas con recursos limitados, se usa un formato compacto con **62 % menos overhead**:

```

1 struct nanos_pheromone_compact {
2     uint8_t magic;           /* 0xAA */
3     uint16_t node_id;        /* 16-bit truncado */
4     uint8_t type;
5     uint8_t ttl_flags;       /* TTL(4) + flags(4) */
6     uint8_t seq;             /* 8-bit sequence */
7     uint16_t dest_id;
8     uint8_t dist_hop;        /* distance(4) + hop(4) */
9     uint8_t payload[8];
10    uint8_t hmac[4];         /* 4-byte truncado */
11    uint8_t reserved[3];
12 } ; /* Total: 24 bytes */

```

Listing 4.1: Estructura del paquete compacto

### 4.3. Autenticación HMAC

Los paquetes críticos requieren autenticación mediante un HMAC basado en SipHash simplificado:

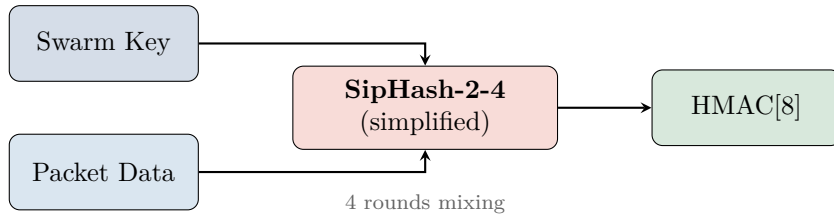


Figura 4.2: Proceso de generación de HMAC

# Capítulo 5

## Mecanismos de Red

### 5.1. Bloom Filter para Deduplicación

El Bloom filter proporciona deduplicación  $O(1)$  con uso mínimo de memoria:

```
1 #define BLOOM_BITS          256      /* 32 bytes */
2 #define BLOOM_HASH_K         3         /* 3 funciones hash */
3 #define BLOOM_SLOTS          4         /* Ventanas rotativas */
4 #define BLOOM_WINDOW_MS       500      /* 500ms por ventana */
```

Listing 5.1: Configuración del Bloom filter

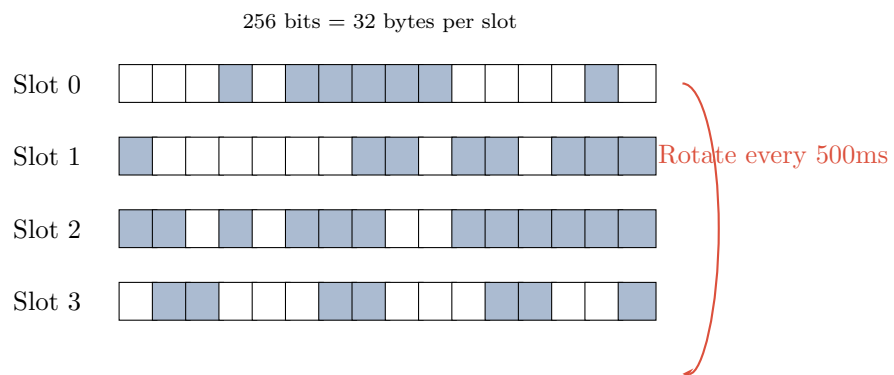


Figura 5.1: Visualización del Bloom filter con slots rotativos

## 5.2. Gossip Protocol

El protocolo de gossip controla la propagación de mensajes para evitar tormentas de broadcast:

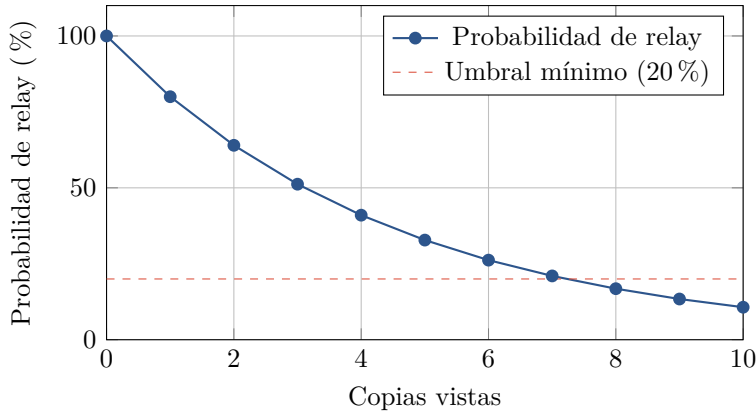


Figura 5.2: Decaimiento de probabilidad en el protocolo gossip

### 5.3. Gradient Routing

El enrutamiento por gradiente permite dirigir mensajes hacia la reina:

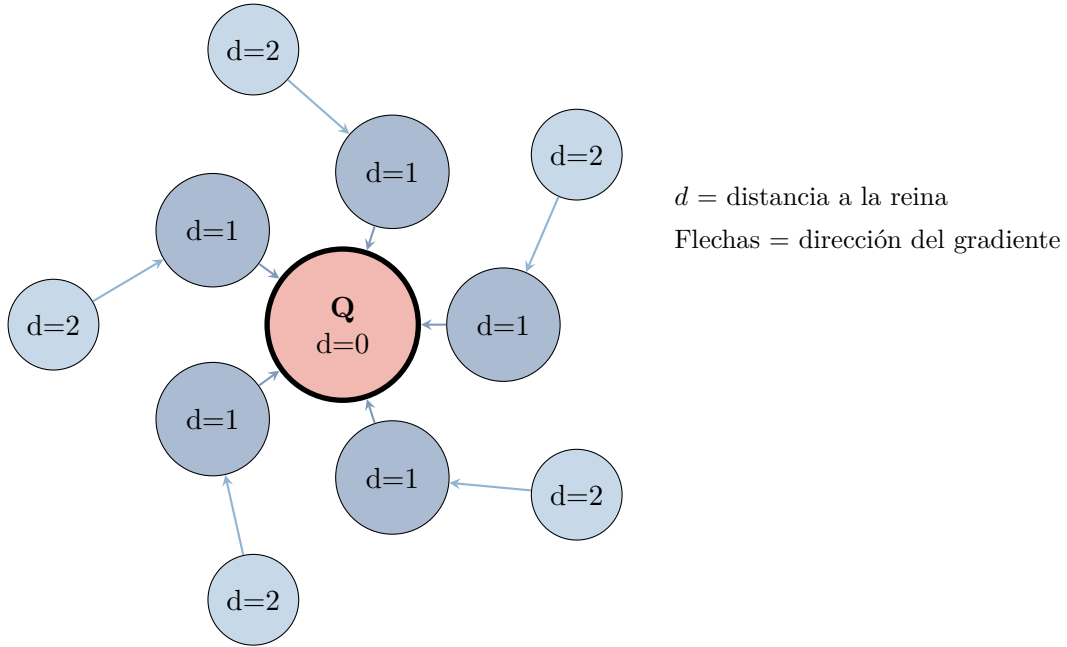


Figura 5.3: Enrutamiento por gradiente hacia la reina

### 5.4. Enrutamiento Hebbiano (v0.5)

La versión 0.5 introduce **Enrutamiento Hebbiano**, inspirado en la neurociencia: “*Las neuronas que se disparan juntas, se conectan juntas*”.

#### 5.4.1. Peso Sináptico

Cada conexión con un vecino tiene un **peso sináptico**  $w \in [1, 255]$ :

```

1 struct neighbor_entry {
2     uint32_t node_id;
3     uint32_t last_seen;
4     uint8_t role;
```

```

5     uint8_t    distance;
6     uint16_t   packets;
7     uint8_t    synaptic_weight; /* v0.5: 0-255, inicial: 128 */
8 };

```

Listing 5.2: Campos de peso sináptico

### 5.4.2. Regla de Aprendizaje

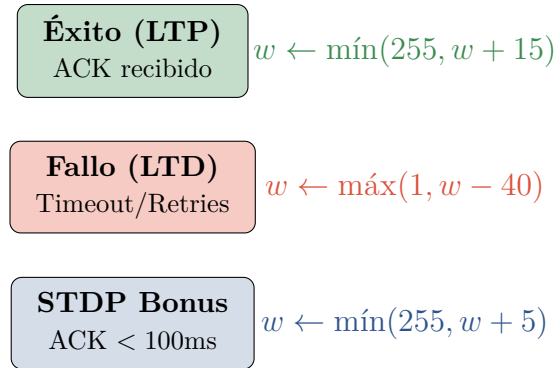


Figura 5.4: Reglas de aprendizaje Hebbiano

#### Asimetría Castigo/Recompensa

El castigo ( $-40$ ) es casi 3 veces más severo que la recompensa ( $+15$ ). Esto asegura que el enjambre aprenda rápidamente a evitar nodos poco confiables.

### 5.4.3. Fórmula de Costo Neural

El costo de ruta combina distancia y confiabilidad:

$$\text{Costo}(j) = 10 \cdot d_j + \frac{255 - w_j}{8} \quad (5.1)$$

Distancia	Peso	Costo
1 hop	255 (perfecto)	$10 + 0 = 10$
1 hop	128 (neutral)	$10 + 15 = 25$
1 hop	1 (muerto)	$10 + 31 = 41$
2 hops	255 (perfecto)	$20 + 0 = 20$

Cuadro 5.1: Ejemplos de cálculo de costo neural

#### Insight Clave

Una ruta de 2 saltos confiable (costo 20) es mejor que una ruta de 1 salto poco confiable (costo 41). El enjambre **aprende a rodear** nodos problemáticos.



# Capítulo 6

## Stigmergia: Feromonas Digitales (v0.5)

### 6.1. Inspiración Biológica

Las hormigas no memorizan mapas; dejan **químicos que se evaporan**. Este mecanismo de coordinación indirecta a través de modificación del ambiente se llama **stigmergia**. NanOS v0.5 implementa este concepto digitalmente.

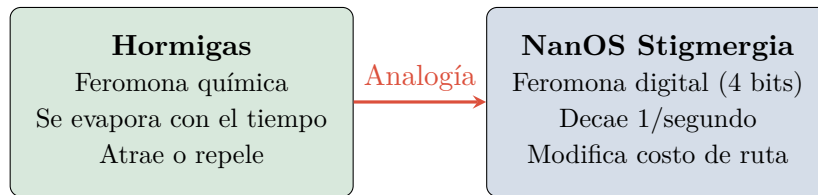


Figura 6.1: Analogía biológica de Stigmergia

### 6.2. Tipos de Feromonas

Código	Tipo	Efecto	Uso
0	DANGER	Repulsión (+8/nivel)	Jamming, ataques, nodos maliciosos
1	QUEEN	Atracción (-2/nivel)	Camino hacia la reina
2	RESOURCE	Neutral	Marcador de objetivos
3	AVOID	Repulsión (+4/nivel)	Zonas subóptimas (no peligrosas)

Cuadro 6.1: Tipos de feromonas digitales

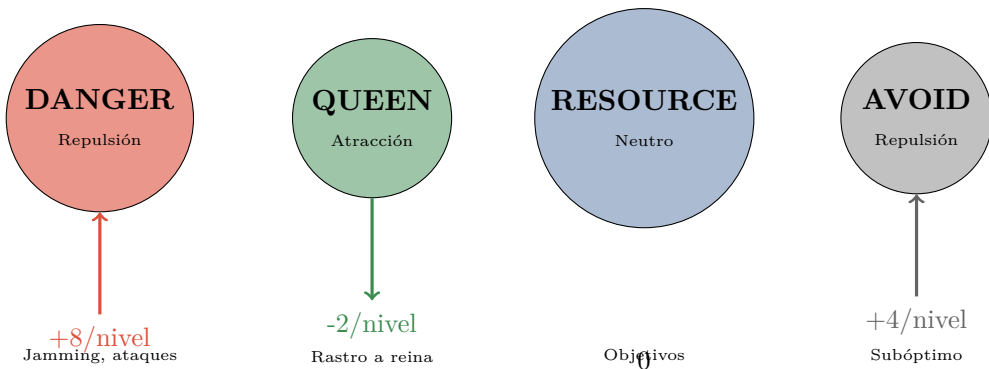


Figura 6.2: Tipos de feromonas y su efecto en el costo de movimiento

### 6.3. Estructura de Datos

```

1  /* Cada celda almacena 4 tipos en 2 bytes (nibble packing) */
2  struct stigmergia_cell {
3      uint8_t data[2]; /* [danger/queen], [resource/avoid] */
4  };
5
6  /* Grid 16x16 cubriendo terreno 32x32 (escala 2:1) */
7  struct stigmergia_cell pheromones[16][16]; /* 512 bytes total */
8
9  /* Acceso a intensidad (0-15) */
10 uint8_t stigmergia_get(uint8_t x, uint8_t y, uint8_t type);
11 void stigmergia_mark(uint8_t x, uint8_t y, uint8_t type, uint8_t
    intensity);

```

Listing 6.1: Almacenamiento de feromonas

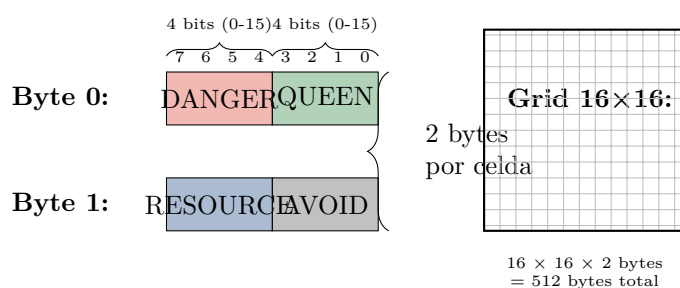


Figura 6.3: Nibble packing: 4 tipos de feromona en 2 bytes por celda

## 6.4. Decaimiento Temporal

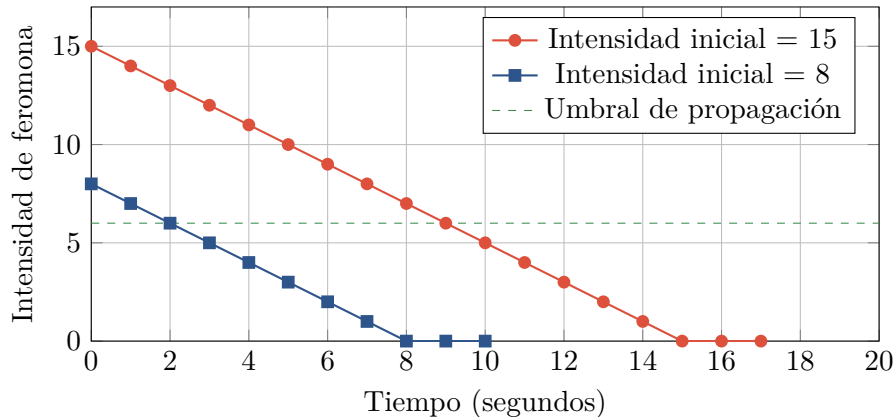


Figura 6.4: Decaimiento de feromonas: -1 cada segundo

### Evaporación

La feromona **se pierde** si no es reforzada. Un peligro detectado hace 15 segundos ya no existe en el mapa. Esto evita información obsoleta.

## 6.5. Modificación de Costo de Movimiento

La presencia de feromonas modifica el costo de moverse a una celda:

$$\text{Costo}_{\text{total}} = \text{Costo}_{\text{base}} + 8 \cdot I_{\text{DANGER}} + 4 \cdot I_{\text{AVOID}} - 2 \cdot I_{\text{QUEEN}} \quad (6.1)$$

Situación	Feromonas	Modificador	Costo Final
Celda normal	Ninguna	0	10
Zona peligrosa	DANGER=15	+120	130
Cerca de reina	QUEEN=10	-20	-10 (atracción)
Zona subóptima	AVOID=8	+32	42
Mixta	DANGER=5, QUEEN=3	+40-6=+34	44

Cuadro 6.2: Ejemplos de modificación de costo

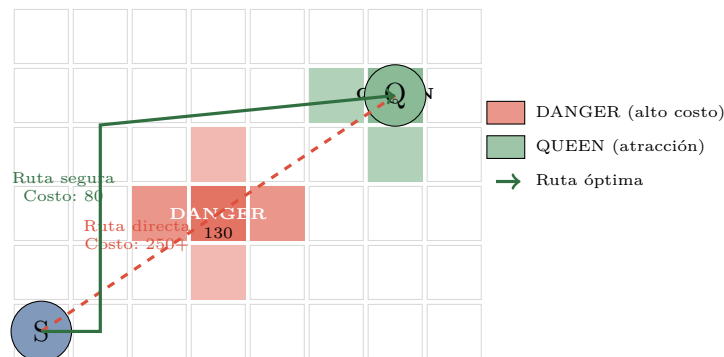


Figura 6.5: Efecto de feromonas en pathfinding: el enjambre rodea zonas peligrosas

## 6.6. Propagación de Feromonas

Las feromonas de alta intensidad se propagan a celdas vecinas:

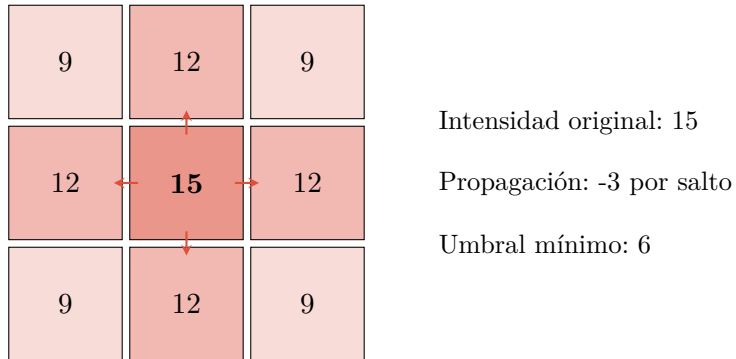


Figura 6.6: Propagación de feromona DANGER

## 6.7. API de Stigmergia

```

1  /* Inicializar sistema (limpia todas las feromonas) */
2  void stigmergia_init(void);
3
4  /* Marcar feromona en coordenadas de terreno */
5  void stigmergia_mark(uint8_t terrain_x, uint8_t terrain_y,
6                      uint8_t type, uint8_t intensity);
7
8  /* Obtener intensidad en coordenadas */
9  uint8_t stigmergia_get(uint8_t terrain_x, uint8_t terrain_y,
10                      uint8_t type);
11
12 /* Aplicar decaimiento (llamar cada segundo) */
13 void stigmergia_decay(void);
14
15 /* Calcular modificador de costo para pathfinding */
16 int8_t stigmergia_cost_modifier(uint8_t terrain_x, uint8_t terrain_y);
17
18 /* Emitir feromona de peligro (convenience) */
19 void stigmergia_emit_danger(uint8_t intensity);
20
21 /* Emitir rastro hacia la reina */
22 void stigmergia_emit_queen_trail(void);

```

Listing 6.2: Funciones principales de Stigmergia

## Capítulo 7

# Black Box Distribuida: “El Último Aliento” (v0.5)

### 7.1. Problema: Evidencia Forense Perdida

Cuando un nodo es comprometido y terminado, su evidencia forense se pierde. Un atacante inteligente podría:

1. Comprometer un nodo
2. Extraer información sensible
3. Forzar su “suicidio” para eliminar rastros



Figura 7.1: Escenario de ataque sin Black Box: la evidencia se pierde al morir el nodo

#### Escenario de Ataque

Sin Black Box: El atacante elimina el nodo y toda evidencia de compromiso desaparece. El enjambre no sabe qué pasó.

### 7.2. Solución: El Último Aliento

Antes de morir, cada nodo transmite un “testamento” (Last Will) a vecinos de confianza. Incluso si el nodo fue hackeado y suicidado, su evidencia sobrevive en el enjambre.

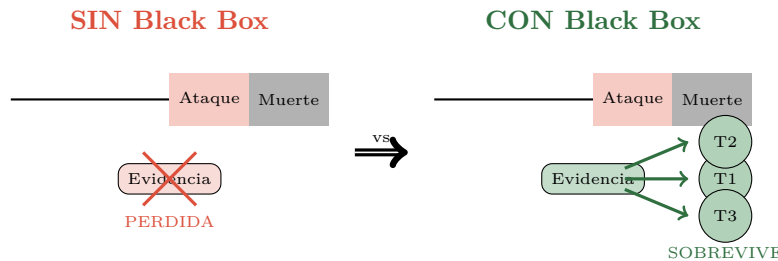


Figura 7.2: Comparación: sin Black Box la evidencia se pierde, con Black Box sobrevive

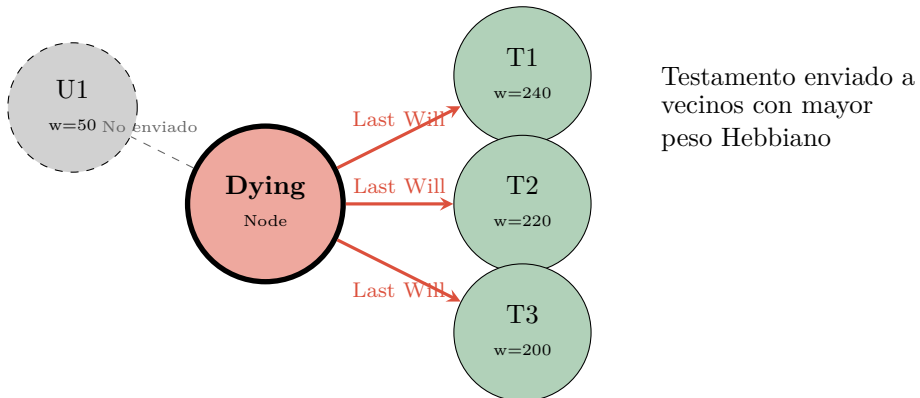


Figura 7.3: Transmisión del Último Aliento a vecinos de confianza

### 7.3. Contenido del Testamento

```

1  /* Razones de muerte */
2  #define DEATH_NATURAL          0x00 /* Vejez/timeout normal */
3  #define DEATH_HEAP_EXHAUSTED   0x01 /* Sin memoria */
4  #define DEATH_CORRUPTION        0x02 /* Corrupcion detectada */
5  #define DEATH_ATTACK_DETECTED   0x03 /* Ataque en progreso */
6  #define DEATH_QUEEN_ORDER       0x04 /* Orden de la reina */
7  #define DEATH_ISOLATION         0x05 /* Sin contacto con enjambre */

8
9  /* Tipos de eventos de seguridad */
10 #define EVENT_BAD_MAC          0x01 /* MAC invalido recibido */
11 #define EVENT_REPLAY             0x02 /* Intento de replay */
12 #define EVENT_RATE_LIMIT         0x03 /* Rate limit excedido */
13 #define EVENT_BLACKLIST          0x04 /* Nodo en blacklist */
14 #define EVENT_JAMMING            0x05 /* Jamming detectado */
15 #define EVENT_CORRUPTION          0x06 /* Corrupcion de memoria */

16
17 /* Contenido del testamento */
18 struct last_will {
19     uint32_t node_id;           /* ID del nodo que muere */
20     uint8_t death_reason;       /* DEATH_* codigo */
21     uint8_t uptime_hours;       /* Horas de vida */
22     uint16_t bad_mac_count;     /* MACs invalidos recibidos */
23     uint16_t replay_count;      /* Intentos de replay */
24     uint16_t rate_limit_hits;   /* Veces rate limited */

25
26 /* Ultimos 8 eventos de seguridad */
27     struct {

```

```

28     uint8_t type;           /* EVENT_* tipo */
29     uint16_t source_node;   /* Nodo relacionado */
30     uint32_t timestamp;    /* Cuando ocurrio */
31 } events[8];
32 };

```

Listing 7.1: Estructura del Last Will

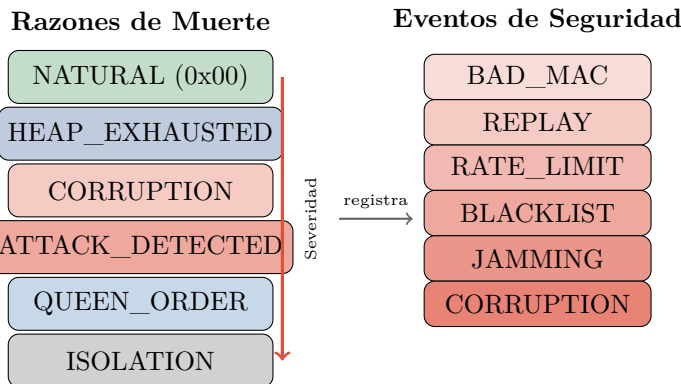


Figura 7.4: Códigos de muerte y eventos de seguridad registrados en el testamento

## 7.4. Flujo de Operación

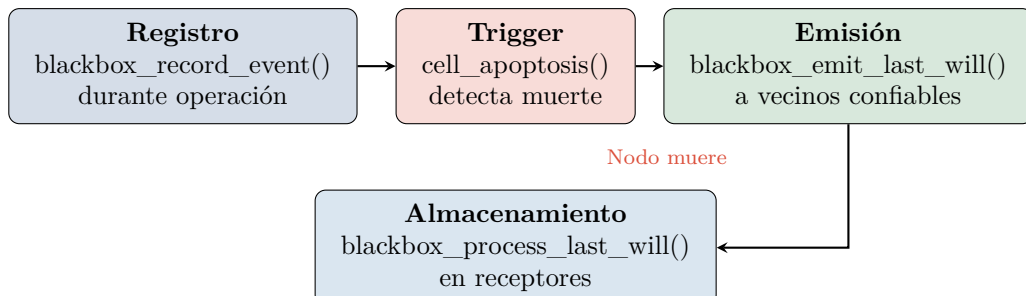


Figura 7.5: Flujo del sistema Black Box

## 7.5. Almacenamiento de Testamentos

Cada nodo almacena hasta 8 testamentos recibidos:

```

1 #define BLACKBOX_MAX_WILLS 8
2
3 /* Estructura de almacenamiento */
4 struct blackbox_storage {
5     struct {
6         uint32_t node_id;
7         uint8_t death_reason;
8         uint8_t uptime_hours;
9         uint16_t bad_mac_count;
10        uint16_t replay_count;
11        uint8_t priority;      /* Para relay y reemplazo */
12        uint8_t event_count;
13    } wills[BLOCKBOX_MAX_WILLS];
14

```

```

15     uint8_t count;           /* Testamentos almacenados */
16 };

```

Listing 7.2: Almacenamiento de testamentos

## 7.6. API de Black Box

```

1  /* Inicializar sistema */
2 void blackbox_init(void);
3
4 /* Registrar evento de seguridad (durante operacion) */
5 void blackbox_record_event(uint8_t event_type, uint16_t source_node);
6
7 /* Emitir testamento antes de morir */
8 void blackbox_emit_last_will(uint8_t death_reason);
9
10 /* Procesar testamento recibido */
11 void blackbox_process_last_will(struct nanos_pheromone* pkt);
12
13 /* Consultar muerte de un nodo */
14 int blackbox_query_death(uint32_t node_id,
15                         uint8_t *death_reason,
16                         uint16_t *bad_mac_count,
17                         uint8_t *uptime_hours);
18
19 /* Obtener numero de testamentos almacenados */
20 uint8_t blackbox_get_will_count(void);
21
22 /* Propagar testamentos criticos a vecinos */
23 void blackbox_relay_critical(void);
24
25 /* Imprimir resumen forense (debug) */
26 void blackbox_print_summary(void);

```

Listing 7.3: Funciones principales de Black Box

## 7.7. Ejemplo de Investigación Forense

```

1 void investigate_dead_node(uint32_t suspect_id) {
2     uint8_t death_reason;
3     uint16_t bad_mac;
4     uint8_t uptime;
5
6     if (blackbox_query_death(suspect_id, &death_reason,
7                               &bad_mac, &uptime) == 0) {
8         printf("Node 0x%08x death investigation:\n", suspect_id);
9         printf("    Uptime: %d hours\n", uptime);
10
11         switch (death_reason) {
12             case DEATH_ATTACK_DETECTED:
13                 printf("    ALERT: Died under attack!\n");
14                 printf("    Bad MACs received: %d\n", bad_mac);
15                 break;
16             case DEATH_CORRUPTION:
17                 printf("    Memory corruption detected\n");

```

```

18         break;
19     case DEATH_NATURAL:
20         printf("  Normal lifecycle end\n");
21         break;
22     }
23 } else {
24     printf("No forensic data for node 0x%08x\n", suspect_id);
25 }
26 }
```

Listing 7.4: Consulta forense de nodo muerto

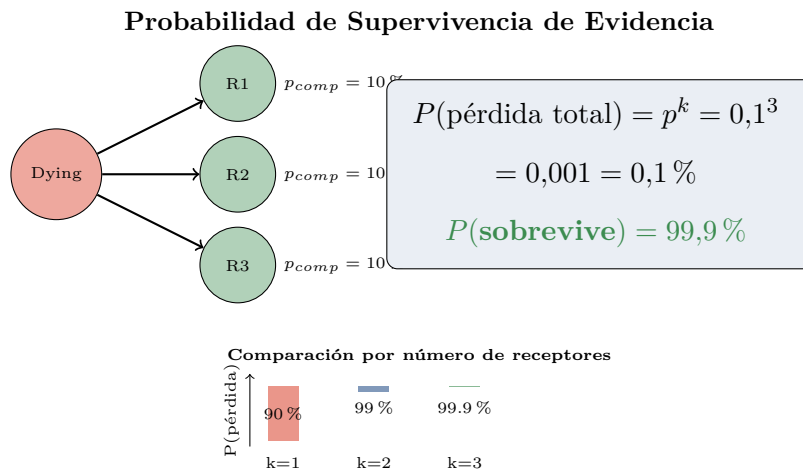


Figura 7.6: Supervivencia de evidencia: con 3 receptores, la probabilidad de pérdida es solo 0.1%

### Supervivencia de Evidencia

Con 3 receptores de confianza y probabilidad de compromiso 10% por nodo, la evidencia sobrevive con probabilidad  $1 - 0,1^3 = 99,9\%$ . “Los muertos hablan a través de los vivos.”



## Capítulo 8

# Sistema Inmune Artificial (AIS) (v0.6)

El sistema inmune biológico no necesita conocer los patógenos de antemano — simplemente reconoce lo que **no es propio** y lo elimina. NanOS v0.6 implementa este concepto con el algoritmo de **Selección Negativa**.

### Filosofía del AIS

“El sistema inmune del swarm no necesita saber qué aspecto tienen los ataques — solo necesita saber qué aspecto tiene ‘saludable’.”

## 8.1. Conceptos Biológicos

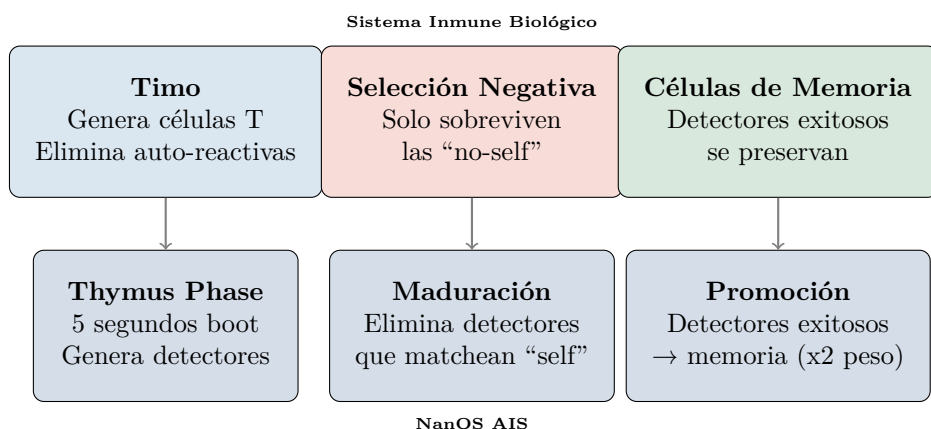


Figura 8.1: Mapeo de conceptos inmunológicos a la implementación NanOS

## 8.2. Estructura del Detector

Un detector es un “anticuerpo digital” que reconoce patrones anómalos:

```
1 #define AIS_DETECTOR_COUNT      16      /* Detectores activos */
2 #define AIS_DETECTOR_SIZE       8       /* Bytes por patron */
3 #define AIS_AFFINITY_THRESHOLD   6       /* Bits contiguos para match */
4
5 struct ais_detector {
6     uint8_t  pattern[8];           /* Patron del detector */
7     uint8_t  mask[8];             /* Que bits comparar */
8     uint8_t  state;              /* EMPTY, IMMATURE, MATURE, MEMORY */
9     uint8_t  detect_type;        /* Tipo de deteccion si conocido */
```

```

10     uint16_t matches;           /* Veces que matcheo no-self */
11     uint16_t false_positives;  /* Matcheo self (malo) */
12     uint32_t created_tick;    /* Cuando se creo */
13     uint32_t last_match_tick; /* Ultimo match exitoso */
14 };
15
16 /* Estados del detector */
17 #define AIS_DETECTOR_EMPTY      0x00      /* Slot disponible */
18 #define AIS_DETECTOR_IMMATURE   0x01      /* En thymus, aprendiendo */
19 #define AIS_DETECTOR_MATURE     0x02      /* Activo, detecta no-self */
20 #define AIS_DETECTOR_MEMORY     0x03      /* Promovido a memoria */
21 #define AIS_DETECTOR_ANERGIC    0x04      /* Deshabilitado (matcheo self)
   */

```

Listing 8.1: Estructura del detector AIS

### 8.3. Algoritmo de Selección Negativa

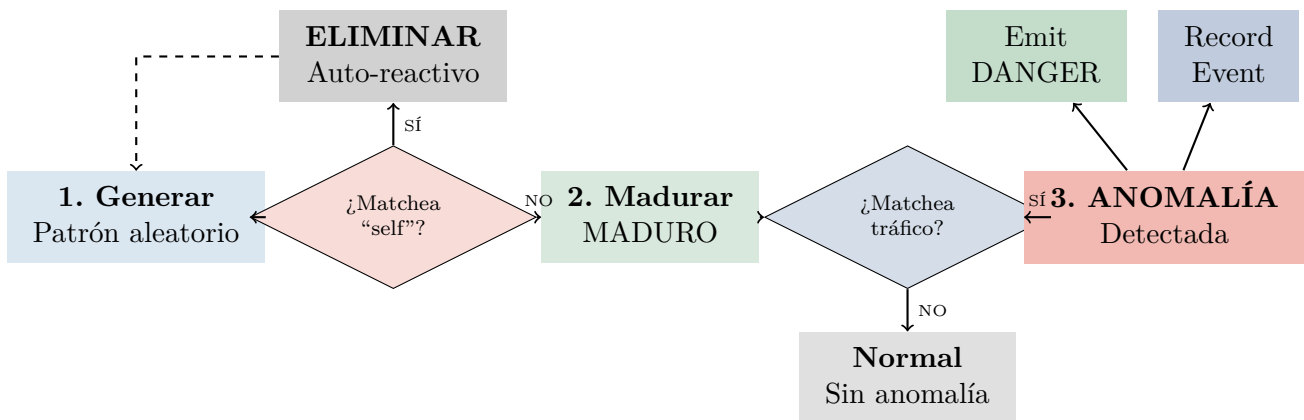


Figura 8.2: Flujo del algoritmo de Selección Negativa

### 8.4. Extracción de Antígenos

Cada paquete se convierte en un “antígeno” de 8 bytes para comparación:

```

1 struct ais_antigen {
2     uint8_t features[8];          /* Vector de caracteristicas */
3     uint16_t source_node;         /* Nodo origen */
4     uint8_t pheromone_type;       /* Tipo de paquete */
5     uint8_t context_flags;        /* Contexto de seguridad */
6 };
7
8 /* Características extraídas del paquete */
9 void ais_extract_antigen(struct nanos_pheromone* pkt,
10                         struct ais_antigen* antigen,
11                         uint8_t ctx_flags) {
12     antigen->features[0] = pkt->type;           /* Tipo */
13     antigen->features[1] = pkt->ttl;            /* TTL */
14     antigen->features[2] = pkt->hop_count;       /* Saltos */
15     antigen->features[3] = (uint8_t)pkt->node_id; /* ID origen */
16     antigen->features[4] = pkt->distance;        /* Distancia */
17     antigen->features[5] = ctx_flags;             /* Contexto */
18     antigen->features[6] = (uint8_t)pkt->seq;      /* Secuencia */

```

```

19     antigen->features[7] = pkt->flags;           /* Flags */
20 }
```

Listing 8.2: Extracción de características del paquete

## 8.5. Tipos de Detección

Código	Tipo	Descripción
0x01	FLOOD	Patrón de DoS/flooding
0x02	PROBE	Reconocimiento/escaneo de red
0x03	REPLAY	Patrón de ataque de replay
0x04	INJECTION	Inyección de paquetes maliciosos
0x05	BEHAVIORAL	Comportamiento anómalo de nodo
0x06	SYBIL	Múltiples identidades desde una fuente
0xFF	UNKNOWN	<b>Anomalía desconocida (0-day!)</b>

Cuadro 8.1: Tipos de detección del AIS

## 8.6. Perfil “Self” (Qué es Normal)

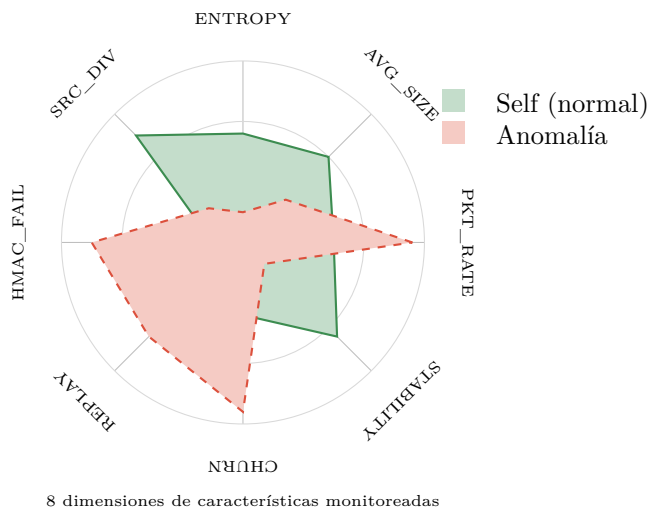


Figura 8.3: Perfil “Self” vs anomalía en el espacio de características

```

1  /* Dimensiones del perfil self (normalizadas 0-255) */
2  #define AIS_FEATURE_PKT_RATE      0   /* Paquetes por segundo */
3  #define AIS_FEATURE_AVG_SIZE      1   /* Tamaño promedio */
4  #define AIS_FEATURE_TYPE_ENTROPY  2   /* Entropía de tipos */
5  #define AIS_FEATURE_SRC_DIVERSITY 3   /* Diversidad de fuentes */
6  #define AIS_FEATURE_HMAC_FAIL_RATE 4   /* Tasa de fallos HMAC */
7  #define AIS_FEATURE_REPLAY_RATE    5   /* Tasa de replays */
8  #define AIS_FEATURE_NEIGHBOR_CHURN 6   /* Cambios de vecinos */
9  #define AIS_FEATURE_ROUTE_STABILITY 7   /* Estabilidad de rutas */
```

Listing 8.3: Características monitoreadas para el perfil “self”

## 8.7. Integración con Otros Sistemas

Cuando el AIS detecta una anomalía, activa una respuesta coordinada:

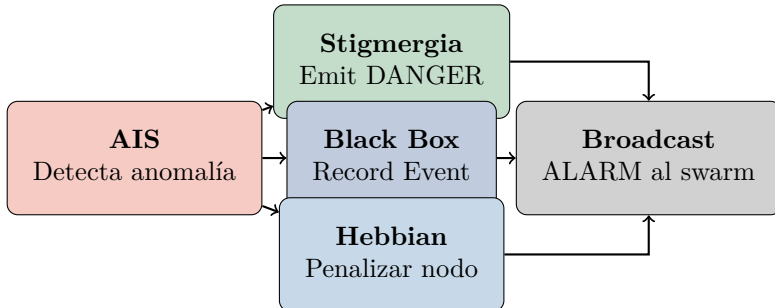


Figura 8.4: Respuesta coordinada del AIS con otros sistemas NanOS

## 8.8. API del Sistema Inmune

```

1  /* Inicializar AIS - inicia thymus phase */
2  void ais_init(void);
3
4  /* Llamar periodicamente desde main loop */
5  void ais_tick(void);
6
7  /* Procesar paquete a traves del sistema inmune */
8  uint8_t ais_process_packet(struct nanos_pheromone* pkt, uint8_t
9    ctx_flags);
10
11 /* Verificar si maduracion completa */
12 bool ais_is_mature(void);
13
14 /* Obtener estadisticas */
15 uint8_t ais_get_active_detector_count(void);
16 uint32_t ais_get_detection_count(void);
17
18 /* Debug */
19 void ais_print_status(void);
  
```

Listing 8.4: Funciones principales del AIS

## 8.9. Eventos AIS para Black Box

```

1 #define EVENT_AIS_DETECTOR_MATCH     0x10      /* Detector matcheo no-self
2   */
2 #define EVENT_AIS_THYMUS_COMPLETE    0x11      /* Maduracion completa */
3 #define EVENT_AIS_MEMORY_PROMOTE   0x12      /* Detector promovido */
4 #define EVENT_AIS_ANOMALY_ALERT     0x13      /* Umbral de anomalia */
5 #define EVENT_AIS_SELF_UPDATE       0x14      /* Perfil self actualizado
6   */
  
```

Listing 8.5: Eventos del AIS registrados en Black Box

### Detección de 0-Days

El AIS no necesita firmas de ataques conocidos. Cualquier patrón que no coincide con el perfil “self” aprendido durante la fase thymus es considerado sospechoso. Esto permite detectar ataques completamente nuevos (0-days) que nunca se han visto antes.



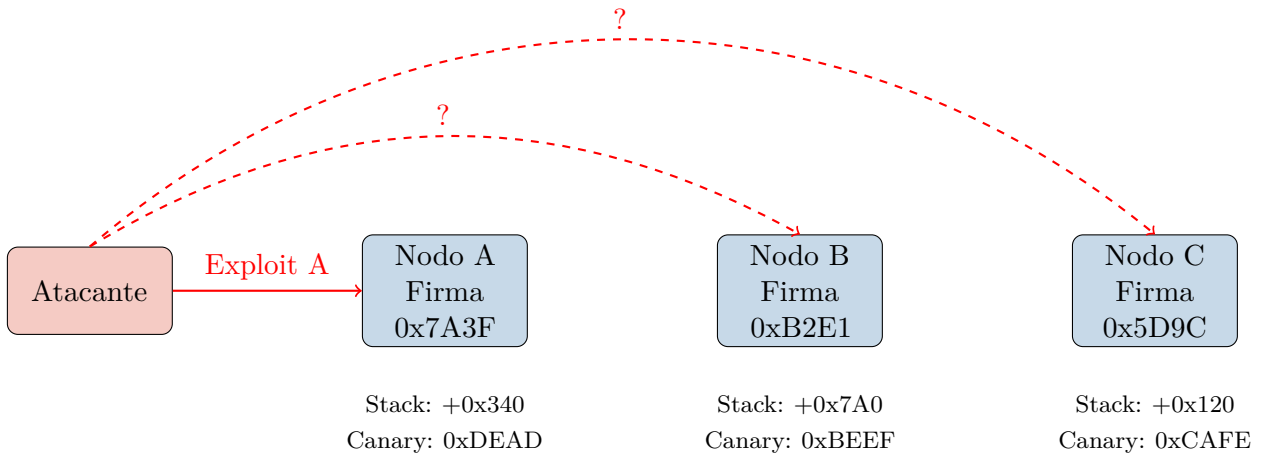
# Capítulo 9

## Polimorfismo de Código: “El Camaleón” (v0.6)

El módulo de **Polimorfismo de Código** (“El Camaleón”) proporciona diversidad a nivel binario, asegurando que cada nodo del swarm tenga una huella digital única. Esto hace imposible reutilizar exploits entre nodos.

### 9.1. Motivación

En ataques tradicionales, una vez que un atacante desarrolla un exploit para una vulnerabilidad, puede reutilizarlo contra cualquier sistema que ejecute el mismo binario. El polimorfismo rompe este paradigma:



#### Principio Fundamental

“Si un atacante compromete un nodo, ha ganado una batalla. Para comprometer el swarm, tendría que ganar miles de batallas diferentes.”

### 9.2. Componentes del Polimorfismo

#### 9.2.1. ASLR (Address Space Layout Randomization)

Randomización del layout de memoria al boot:

```

1  /* Bits de entropia (limitados por constraints de MCU) */
2  #define POLY_ASRL_STACK_BITS      8    /* 256 bases posibles para stack */
3  #define POLY_ASRL_HEAP_BITS       6    /* 64 bases posibles para heap */
4  #define POLY_ASRL_ALIGNMENT      16   /* Alineacion de 16 bytes (ARM) */
5
6  #define POLY_STACK_OFFSET_MAX    4096  /* Max randomizacion stack */
7  #define POLY_HEAP_OFFSET_MAX     1024  /* Max randomizacion heap */
8
9  struct poly_memory_layout {
10    uint32_t stack_base;           /* Base randomizada del stack */
11    uint32_t stack_offset;         /* Offset desde base original */
12    uint32_t heap_base;           /* Base randomizada del heap */
13    uint32_t heap_offset;          /* Offset desde base original */
14    uint32_t data_offset;          /* Offset de datos estaticos */
15    uint32_t entropy_seed;        /* Semilla usada */
16 };

```

Listing 9.1: Configuración de ASLR

### 9.2.2. Stack Canaries

Valores aleatorios para detectar buffer overflows:

```

1  struct poly_canary_state {
2    uint32_t value;           /* Valor actual del canary */
3    uint32_t backup;          /* Backup para verificacion */
4    uint32_t violations;      /* Contador de violaciones */
5    uint32_t last_check;       /* Ultimo tick de verificacion */
6    uint32_t last_refresh;     /* Ultimo tick de refresh */
7  };
8
9  /* Macros de instrumentacion */
10 #define POLY_CANARY_PROLOGUE() \
11     uint32_t __canary = poly_canary_get()
12 #define POLY_CANARY_EPILOGUE() \
13     if (__canary != poly_canary_get()) poly_canary_violated()
14
15 /* Ejemplo de uso */
16 POLY_PROTECTED_FUNC void critical_operation(void) {
17     POLY_CANARY_PROLOGUE();
18     /* ... codigo critico ... */
19     POLY_CANARY_EPILOGUE();
20 }

```

Listing 9.2: Protección con Stack Canary

### 9.2.3. Firma Binaria Única

Cada nodo genera una firma de 128 bits que lo identifica:

```

1  #define POLY_SIGNATURE_SIZE      16   /* 128 bits */
2
3  struct poly_signature {
4    uint8_t bytes[POLY_SIGNATURE_SIZE]; /* Fingerprint unico */
5    uint32_t created_tick;             /* Cuando fue generado */
6    uint32_t node_id;                 /* ID del nodo asociado */
7    uint8_t version;                  /* Version de firma */

```

```

8  };
9
10 /* La firma se deriva de:
11  * - Node ID
12  * - Hardware RNG seed
13  * - Boot timestamp
14  * - Memory layout entropy
15 */

```

Listing 9.3: Estructura de Firma Binaria

#### 9.2.4. Timing Jitter

Delays aleatorios para resistir ataques de timing side-channel:

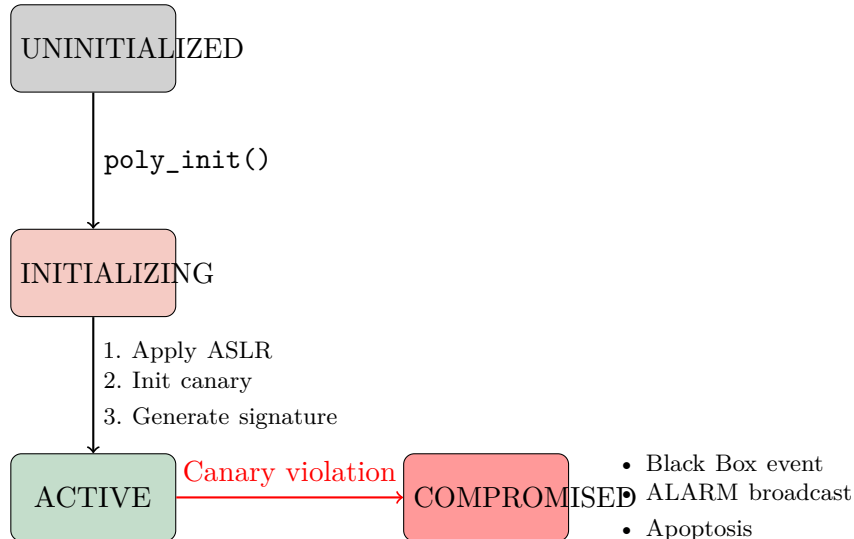
```

1 #define POLY_JITTER_MIN_US      10      /* Min jitter */
2 #define POLY_JITTER_MAX_US     100      /* Max jitter */
3
4 #define POLY_TIMING_SAFE(code) do { \
5     poly_apply_jitter(); \
6     code; \
7     poly_apply_jitter(); \
8 } while(0)
9
10 /* Uso: proteger comparaciones criptograficas */
11 POLY_TIMING_SAFE(
12     result = crypto_verify(expected, received);
13 )

```

Listing 9.4: Timing Jitter para Side-Channel Resistance

### 9.3. Flujo de Inicialización



### 9.4. API Principal

```

1 /* Inicializacion */
2 int poly_init(void);

```

```

3  /* ASLR */
4  struct poly_memory_layout* poly_apply_aslr(uint32_t entropy);
5  struct poly_memory_layout* poly_get_layout(void);
6
7  /* Firma binaria */
8  void poly_generate_signature(void);
9  struct poly_signature* poly_get_signature(void);
10 bool poly_verify_signature(struct poly_signature* sig);
11
12 /* Stack canary */
13 void poly_canary_init(void);
14 uint32_t poly_canary_get(void);
15 bool poly_canary_check(void);
16 void poly_canary_refresh(void);
17 void poly_canary_violated(void); /* Trigger security response */
18
19 /* Timing jitter */
20 void poly_apply_jitter(void);
21 uint16_t poly_get_jitter(void);
22 void poly_randomize_jitter(void);
23
24 /* Mantenimiento */
25 void poly_tick(void); /* Llamar desde main loop */
26 bool poly_is_active(void);
27
28 /* Debug */
29 uint8_t poly_diversity_score(void); /* 0-255, mayor = mas diverso */
30 void poly_print_status(void);
31

```

Listing 9.5: API del módulo Polimorfismo

## 9.5. Respuesta a Violación de Canary

Cuando se detecta corrupción del stack canary:

1. **Estado** → COMPROMISED
2. **Black Box**: Registra EVENT\_CORRUPTION
3. **Broadcast**: Emite PHEROMONE\_ALARM (0xCADEAD00)
4. **Apoptosis**: El nodo se auto-destruye para proteger al swarm

```

1 void poly_canary_violated(void) {
2     /* Cambiar estado */
3     poly_state.state = POLY_STATE_COMPROMISED;
4     poly_state.canary.violations++;
5
6     /* Registrar en Black Box */
7     blackbox_record_event(EVENT_CORRUPTION, 0,
8         poly_state.canary.value, poly_state.canary.backup);
9
10    /* Alertar al swarm */
11    uint32_t alarm = 0xCADEAD00;
12    nert_send_critical(0x0000, PHEROMONE_ALARM, &alarm, 4);
13

```

```

14     /* Apoptosis */
15     hal_trigger_apoptosis();
16 }
```

Listing 9.6: Manejo de violación de canary

## 9.6. Diversity Score

El diversity\_score cuantifica qué tan único es un nodo:

```

1 uint8_t poly_diversity_score(void) {
2     uint8_t score = 0;
3
4     /* ASLR contribuye bits de entropia */
5     score += __builtin_popcount(layout.stack_offset & 0xFF) * 8;
6     score += __builtin_popcount(layout.heap_offset & 0x3F) * 8;
7
8     /* Canary contribuye bits únicos */
9     score += __builtin_popcount(canary.value) * 4;
10
11    /* Signature contribuye entropia */
12    for (int i = 0; i < 16; i++) {
13        score += __builtin_popcount(signature.bytes[i]);
14    }
15
16    return score; /* 0-255, promedio esperado ~128 */
17 }
```

Listing 9.7: Cálculo del Diversity Score

### Seguridad del Swarm

Con polimorfismo activo, un atacante necesitaría desarrollar un exploit diferente para cada nodo del swarm. Para 1000 nodos con 16,384 combinaciones de ASLR cada uno, la complejidad del ataque crece exponencialmente.



# Capítulo 10

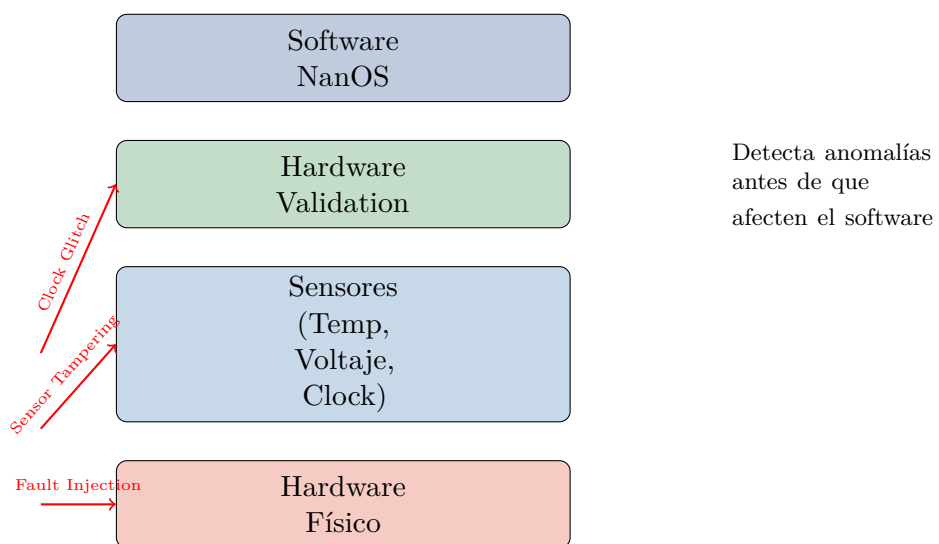
## Validación de Hardware: “El Centinela del Silicio” (v0.6)

El módulo de **Validación de Hardware** (“El Centinela del Silicio”) proporciona monitoreo continuo de la integridad del hardware para detectar manipulación física, sensores comprometidos y ataques de fault injection.

### 10.1. Motivación

El software puede ser engañado, pero el hardware torturado revela la verdad:

- **Glitching de reloj:** Manipulación de frecuencia para saltar instrucciones
- **Fault injection:** Picos de voltaje para corromper datos
- **Ataques térmicos:** Freeze/heat para afectar la memoria
- **Sensores falsificados:** Lecturas manipuladas de temperatura/voltaje
- **Firmware alterado:** Modificación no autorizada del código



### 10.2. Fases del Sistema

1. **CALIBRATING** (5s): Aprende baseline de sensores

2. **ACTIVE**: Monitoreo continuo normal
3. **SUSPICIOUS**: Anomalías detectadas, alerta elevada
4. **COMPROMISED**: Integridad fallida, apoptosis

### 10.3. Validación de Sensores

```

1  /* Temperatura operacional */
2  #define HWVAL_TEMP_MIN_C          (-40)    /* -40C minimo */
3  #define HWVAL_TEMP_MAX_C          85       /* 85C maximo */
4  #define HWVAL_TEMP_DELTA_MAX     10       /* Max cambio/segundo */

5
6  /* Voltaje de operacion */
7  #define HWVAL_VOLTAGE_MIN_MV      2700     /* 2.7V minimo */
8  #define HWVAL_VOLTAGE_MAX_MV      3600     /* 3.6V maximo */
9  #define HWVAL_VOLTAGE_DELTA_MAX  100      /* Max cambio/tick (mV) */

10
11 /* Tolerancia de reloj */
12 #define HWVAL_CLOCK_TOLERANCE_PCT 5        /* 5% drift permitido */
13 #define HWVAL_CLOCK_GLITCH_THRESH 3        /* Glitches antes de alarma */

```

Listing 10.1: Límites físicos de sensores

### 10.4. Canaries de Memoria

```

1 #define HWVAL_MEM_CANARY_COUNT   4
2 #define HWVAL_MEM_CANARY_MAGIC  0xCODEBABA

3
4 struct hwval_mem_canary {
5     uint32_t *address;           /* Ubicacion del canary */
6     uint32_t expected;          /* Valor esperado */
7     uint8_t region;             /* RAM/FLASH/etc */
8     uint8_t violated;           /* Corrupcion detectada? */
9 };
10
11 /* Registrar ubicacion critica */
12 int idx = hwval_register_canary(&critical_var, HWVAL_REGION_RAM);
13
14 /* Verificacion periodica */
15 if (hwval_check_canaries() > 0) {
16     /* Memoria corrompida! */
17 }

```

Listing 10.2: Protección con Memory Canaries

### 10.5. Integridad de Flash

```

1 struct hwval_flash_block {
2     uint32_t start_addr;        /* Direccion inicio */
3     uint32_t size;              /* Tamano del bloque */
4     uint32_t crc;               /* CRC esperado */
5 };
6

```

```

7  /* Registrar bloque de código critico */
8  hwval_register_flash_block(0x08000000, 0x10000);
9
10 /* Verificar integridad */
11 if (!hwval_verify_flash_block(0)) {
12     /* Firmware alterado! */
13 }

```

Listing 10.3: Verificación CRC de Flash

## 10.6. Tipos de Violación

Código	Tipo	Severidad	Descripción
0x01	TEMP_RANGE	CRITICAL	Temperatura fuera de límites
0x04	VOLTAGE_SPIKE	CRITICAL	Glitch de voltaje detectado
0x06	CLOCK_GLITCH	CRITICAL	Glitching de reloj
0x07	MEM_CANARY	FATAL	Canary de memoria corrompido
0x08	FLASH_CRC	FATAL	CRC de flash no coincide
0x0A	SENSOR_STUCK	WARNING	Sensor no responde

Cuadro 10.1: Tipos de violación de hardware

## 10.7. Trust Score

Cada nodo calcula un “Trust Score” de hardware (0-255):

```

1  uint8_t hwval_trust_score(void) {
2      if (state == HWVAL_STATE_COMPROMISED) return 0;
3
4      uint8_t score = 255 - anomaly_score;
5
6      /* Penalizar por violaciones recientes */
7      score -= total_violations * 10;
8
9      return score;
10 }

```

Listing 10.4: Cálculo del Trust Score

## 10.8. API Principal

```

1  /* Inicializacion */
2  int hwval_init(void);
3
4  /* Tick periodico (llamar cada 100ms) */
5  void hwval_tick(void);
6
7  /* Forzar verificacion completa */
8  uint8_t hwval_check_now(void);
9
10 /* Hardware confiable? */
11 bool hwval_is_trusted(void);

```

```

12
13 /* Registrar canary de memoria */
14 int hwval_register_canary(uint32_t *address, uint8_t region);
15
16 /* Registrar bloque flash para CRC */
17 int hwval_register_flash_block(uint32_t start, uint32_t size);
18
19 /* Obtener trust score */
20 uint8_t hwval_trust_score(void);
21
22 /* Debug */
23 void hwval_print_status(void);

```

Listing 10.5: API del módulo Hardware Validation

### Defensa en Profundidad

Hardware Validation complementa las otras capas de seguridad:

- **AIS** detecta anomalías de red
- **Polimorfismo** hace únicos los binarios
- **Hardware Validation** detecta ataques físicos

Un atacante debe superar todas las capas para comprometer un nodo.

# Capítulo 11

## Sintonización Genética (v0.7)

### 11.1. Visión General

El sistema de Sintonización Genética permite a la Queen (micrOS) optimizar automáticamente los parámetros del protocolo NERT utilizando algoritmos genéticos. Los Workers reciben configuraciones de genoma y reportan métricas de rendimiento para que la Queen evalúe el fitness de cada configuración.

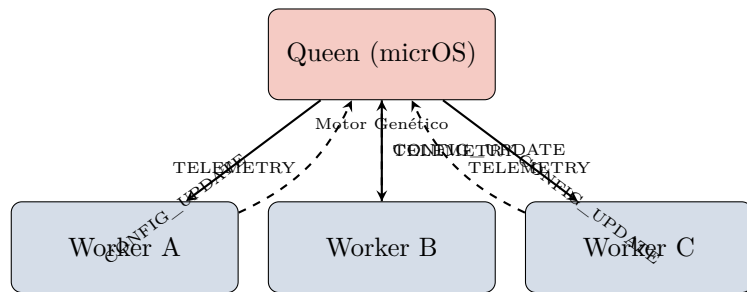


Figura 11.1: Flujo de Sintonización Genética entre Queen y Workers

### 11.2. Estructura del Genoma

Cada genoma contiene 32 bytes de parámetros optimizables:

```
1 struct nert_genome {
2     uint16_t genome_id;           // ID unico
3     uint8_t generation;          // Generacion
4     uint8_t version;             // Version estructura
5
6     // Timing Genes
7     uint16_t tick_interval_ms;   // [10-200]
8     uint16_t retry_timeout_ms;   // [50-1000]
9     uint8_t max_retries;         // [2-15]
10    uint8_t window_size;         // [1-8]
11
12    // Gossip Genes
13    uint8_t gossip_prob_base;    // [50-100]
14    uint8_t gossip_prob_decay;   // [10-60]
15    uint8_t jitter_min_ms;       // [5-50]
16    uint8_t jitter_max_ms;       // [50-200]
17
18    // Security Genes
19    uint8_t rate_bucket_capacity; // [5-50]
```

```

20     uint8_t  reputation_warn;           // [50-90]
21     uint8_t  reputation_ban;          // [10-40]
22
23     uint16_t fitness_score;          // Calculado [0-10000]
24     uint16_t checksum;              // CRC16
25 };

```

Listing 11.1: Estructura del genoma NERT

### 11.3. Recepción de Configuración

Cuando un Worker recibe un pheromone CONFIG\_UPDATE de la Queen:

1. Verificar HMAC (solo Queen puede enviar configuraciones)
2. Validar CRC16 del genoma
3. Verificar que todos los parámetros estén en rango
4. Aplicar configuración gradualmente (evitar cambios bruscos)
5. Registrar evento en BlackBox

```

1 void genetic_process_config_update(const struct nanos_pheromone *pkt) {
2     struct nert_genome *genome = (struct nert_genome*)pkt->payload;
3
4     // Verificar checksum
5     if (!genetic_verify_checksum(genome)) {
6         blackbox_record_event(EVENT_GENETIC_BAD_CHECKSUM,
7             genome->genome_id);
8         return;
9     }
10
11    // Aplicar configuracion
12    if (genetic_apply_genome(genome) == 0) {
13        g_state.current_genome_id = genome->genome_id;
14        g_state.genome_generation = genome->generation;
15        blackbox_record_event(EVENT_GENETIC_CONFIG_APPLIED,
16            genome->genome_id);
17    }
18 }

```

Listing 11.2: Procesamiento de CONFIG\_UPDATE

### 11.4. Reporte de Telemetría

Periódicamente (cada 60 segundos), los Workers reportan métricas a la Queen:

```

1 struct genetic_telemetry {
2     uint16_t genome_id;                  // Genoma actual
3     uint16_t packets_tx;                // Paquetes enviados
4     uint16_t packets_rx;                // Paquetes recibidos
5     uint16_t packets_dropped;          // Paquetes perdidos
6     uint16_t avg_rtt_ms;               // RTT promedio
7     uint8_t  neighbors_active;          // Vecinos activos
8     uint8_t  securityViolations;       // Violaciones de seguridad

```

```
9     uint16_t uptime_minutes;           // Tiempo activo  
10 }
```

Listing 11.3: Estructura de telemetría

## 11.5. API del Receptor Genético

```
1 // Inicializar receptor  
2 void genetic_receiver_init(void);  
3  
4 // Procesar paquete CONFIG_UPDATE  
5 void genetic_process_config_update(const struct nanos_pheromone *pkt);  
6  
7 // Enviar telemetria a Queen  
8 void genetic_send telemetry(void);  
9  
10 // Obtener genoma actual  
11 uint16_t genetic_get_current_genome_id(void);  
12  
13 // Tick periodico (llamar desde main loop)  
14 void genetic_tick(void);
```

Listing 11.4: API del receptor genético en Worker



# Capítulo 12

## Nodos Judas: Honeypots Activos (v0.7)

### 12.1. Concepto

Los **Nodos Judas** son Workers que, al detectar una intrusión, fingen vulnerabilidad para capturar los payloads de los atacantes antes de autodestruirse. Este sistema transforma nodos comprometidos en trampas que generan inteligencia de amenazas.

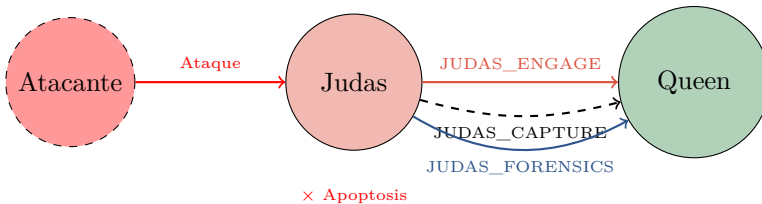


Figura 12.1: Flujo de operación de un Nodo Judas

### 12.2. Máquina de Estados

```
1 typedef enum {
2     JUDAS_STATE_DORMANT,           // Comportamiento normal
3     JUDAS_STATE_SUSPICIOUS,        // Intrusión detectada, evaluando
4     JUDAS_STATE_ENGAGING,          // Fingiendo vulnerabilidad
5     JUDAS_STATE_CAPTURING,         // Grabando payload del atacante
6     JUDAS_STATE_DETONATING         // Apoptosis con forensics
7 } judas_state_t;
```

Listing 12.1: Estados del Nodo Judas

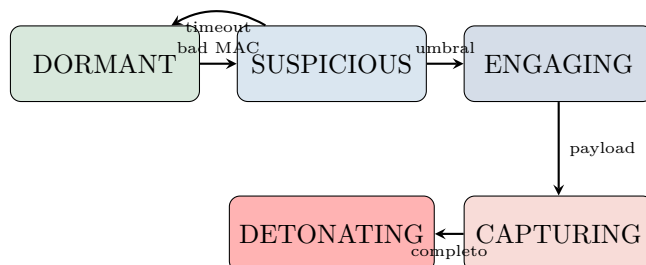


Figura 12.2: Máquina de estados del Nodo Judas

### 12.3. Triggers de Activación

```

1 struct judas_trigger_config {
2     uint8_t bad_mac_threshold;           // MACs fallidos para activar
3     [3-10]
4     uint8_t replay_threshold;          // Replays para activar [2-5]
5     uint8_t probe_threshold;           // Probes anomalos [5-15]
6     uint16_t engage_timeout_ms;        // Timeout en ENGAGING [5000-30000]
7     uint16_t capture_max_bytes;       // Max bytes a capturar [256-1024]
8     uint8_t auto_detonate;            // Detonar automaticamente
9 };

```

Listing 12.2: Configuración de triggers Judas

### 12.4. Estructura de Captura

```

1 struct judas_capture {
2     uint32_t attacker_id;              // Node ID del atacante
3     uint8_t attacker_mac[6];           // MAC del atacante
4     uint32_t engage_tick;             // Cuando se engancho
5     uint32_t capture_tick;            // Cuando se capturo
6
7     // Tecnicas observadas
8     uint8_t bad_mac_count;           // MACs invalidos
9     uint8_t replay_count;             // Intentos de replay
10    uint8_t probe_count;              // Probes anomalos
11    uint8_t injection_attempts;      // Intentos de inyeccion
12
13    // Payload capturado
14    uint16_t payload_len;             // Maximo payload del atacante
15    uint8_t payload[512];
16
17    // Hash para deduplicacion
18    uint32_t payload_hash;
19 };

```

Listing 12.3: Datos capturados por Judas

### 12.5. Integración con AIS

El sistema Judas se integra con el Sistema Inmune Artificial:

```

1 // En ais_on_anomaly():
2 if (g_state.judas_mode_enabled) {
3     if (detect_type == AIS_DETECT_INJECTION ||
4         detect_type == AIS_DETECT_PROBE) {
5         // Transicionar a modo Judas en lugar de rechazar
6         judas_enter_suspicious(source_node, detect_type);
7         return; // No alertar al atacante
8     }
9 }

```

Listing 12.4: Integración Judas-AIS

## 12.6. Transmisión de Forensics

Antes de la apoptosis, el nodo Judas transmite toda la evidencia:

```

1 void judas_detonate(void) {
2     // 1. Notificar a Queen
3     struct judas_capture *cap = &g_judas.capture;
4     pheromone_send_judas_capture(cap);
5
6     // 2. Transmitir BlackBox completo
7     blackbox_emit_last_will();
8
9     // 3. Transmitir forensics específico
10    pheromone_send_judas_forensics(&g_judas);
11
12    // 4. Apoptosis
13    nanos_die(DEATH_REASON_JUDAS_DETONATE);
14 }
```

Listing 12.5: Transmisión de forensics antes de morir

## 12.7. API del Sistema Judas

```

1 // Inicializar sistema Judas
2 void judas_init(void);
3
4 // Habilitar/deshabilitar modo Judas
5 void judas_set_enabled(bool enabled);
6
7 // Transición a estado sospechoso
8 void judas_enter_suspicious(uint32_t source, uint8_t trigger_type);
9
10 // Registrar actividad del atacante
11 void judas_record_activity(const void *data, uint16_t len);
12
13 // Forzar detonación
14 void judas_detonate(void);
15
16 // Tick periódico
17 void judas_tick(void);
18
19 // Estado actual
20 judas_state_t judas_get_state(void);
```

Listing 12.6: API del sistema Judas



# Capítulo 13

## Canales Encubiertos (v0.7)

### 13.1. Visión General

Los **Canales Encubiertos** permiten comunicación física entre nodos utilizando side-channels como LEDs y buzzers. Esto habilita la comunicación en entornos air-gapped donde la red tradicional no está disponible.



Figura 13.1: Comunicación por canal encubierto

### 13.2. Canal Óptico (LED-to-Light Sensor)

#### 13.2.1. Características

- **Transmisor:** LED controlado por PWM
- **Receptor:** Fotorresistor o fotodiodo conectado a ADC
- **Modulación:** On-Off Keying (OOK) o Manchester
- **Velocidad:** 10–100 bps
- **Alcance:** 1–5 metros (dependiente de luz ambiental)

#### 13.2.2. Codificación Manchester

Manchester encoding proporciona auto-sincronización:

```
1 // Bit 0: transicion HIGH->LOW en mitad del periodo
2 // Bit 1: transicion LOW->HIGH en mitad del periodo
3
4 void covert_manchester_encode_bit(uint8_t bit) {
5     if (bit) {
6         // Bit 1: LOW primera mitad, HIGH segunda mitad
7         led_set(0);
8         delay_us(BIT_PERIOD_US / 2);
9         led_set(1);
10        delay_us(BIT_PERIOD_US / 2);
```

```

11     } else {
12         // Bit 0: HIGH primera mitad, LOW segunda mitad
13         led_set(1);
14         delay_us(BIT_PERIOD_US / 2);
15         led_set(0);
16         delay_us(BIT_PERIOD_US / 2);
17     }
18 }
```

Listing 13.1: Codificación Manchester

### 13.3. Canal Acústico (Buzzer-to-Mic)

#### 13.3.1. Características

- **Transmisor:** Buzzer piezoeléctrico con PWM
- **Receptor:** Micrófono analógico o I2S
- **Modulación:** FSK (Frequency Shift Keying)
- **Frecuencias:** 1kHz/2kHz (audible) o 18kHz/20kHz (ultrasónico)
- **Velocidad:** 50–200 bps

#### 13.3.2. Modulación FSK

```

1 #define FREQ_ZERO    1000      // Hz para bit 0
2 #define FREQ_ONE     2000      // Hz para bit 1
3 #define BIT_TIME_MS  20        // Duracion de cada bit
4
5 void covert_fsk_send_bit(uint8_t bit) {
6     uint16_t freq = bit ? FREQ_ONE : FREQ_ZERO;
7     buzzer_set_frequency(freq);
8     buzzer_enable();
9     delay_ms(BIT_TIME_MS);
10    buzzer_disable();
11}
```

Listing 13.2: Modulación FSK para canal acústico

### 13.4. Estructura del Frame

```

1 #define COVERT_SYNC_PATTERN    0xAA
2 #define COVERT_CHANNEL_OPTICAL 0x01
3 #define COVERT_CHANNEL_ACOUSTIC 0x02
4
5 struct covert_frame {
6     uint8_t sync_pattern;          // 0xAA para sincronizacion
7     uint8_t channel_type;         // OPTICAL o ACOUSTIC
8     uint8_t payload_len;          // 1-16 bytes
9     uint8_t payload[16];           // Datos
10    uint8_t crc8;                // Checksum
11};
```

Listing 13.3: Estructura del frame covert

### 13.5. API de Canales Encubiertos

```

1 // Inicializar transmisor
2 void covert_tx_init(uint8_t channel);
3
4 // Enviar datos
5 int covert_tx_send(const void *data, uint8_t len);
6
7 // Inicializar receptor
8 void covert_rx_init(uint8_t channel, uint8_t gpio_sensor);
9
10 // Recibir datos (bloqueante con timeout)
11 int covert_rx_receive(void *buffer, uint8_t max_len, uint32_t
12     timeout_ms);
13
14 // Calibrar receptor
15 void covert_rx_calibrate(void);
16
17 // Obtener estadísticas
18 void covert_get_stats(struct covert_stats *stats);

```

Listing 13.4: API de canales encubiertos

### 13.6. Consideraciones de Seguridad

#### Seguridad de Canales Encubiertos

- Los datos transmitidos por canal encubierto **deben** encriptarse con la misma clave de sesión NERT
- Incluir sequence number para prevenir replay attacks
- El payload máximo es 16 bytes por frame
- Los canales encubiertos son detectables; usar con discreción

```

1 int covert_send_secure(const void *data, uint8_t len) {
2     uint8_t encrypted[16];
3
4     // Encriptar con ChaCha8
5     chacha8_encrypt(g_state.session_key, g_state.covert_nonce,
6                      data, encrypted, len);
7
8     // Incrementar nonce
9     g_state.covert_nonce++;
10
11    // Enviar por canal encubierto
12    return covert_tx_send(encrypted, len);
13 }

```

Listing 13.5: Encriptación de datos covert



## **Parte II**

# **Protocolo NERT**



## Capítulo 14

# Visión General de NERT

### 14.1. Motivación

Los protocolos tradicionales no satisfacen las necesidades de nodos desecharables:

Característica	TCP	UDP	NERT
Confiabilidad	Siempre	Nunca	<b>Selectiva</b>
Encriptación	Opcional	No	<b>Obligatoria</b>
Handshake	3-way	Ninguno	<b>2-way</b>
FEC	No	No	<b>Opcional</b>
Multi-path	No	No	<b>Sí</b>
RAM/conexión	~2KB	~0	<b>~100B</b>
Optimizado para efímeros	No	Parcial	<b>Sí</b>

Cuadro 14.1: Comparación de NERT con protocolos tradicionales

### 14.2. Clases de Confiabilidad

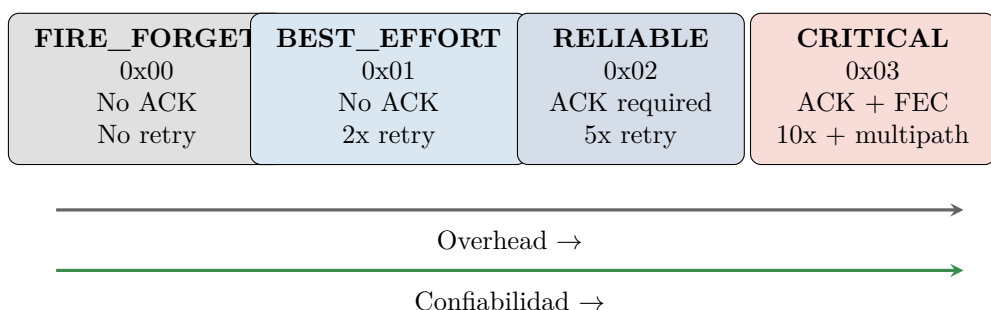


Figura 14.1: Clases de confiabilidad de NERT



# Capítulo 15

## Formato de Paquete NERT

### 15.1. Header Estándar (20 bytes)

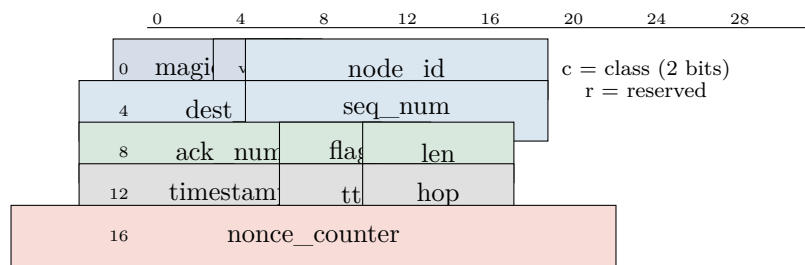


Figura 15.1: Header NERT estándar de 20 bytes

### 15.2. Campo de Flags

Bit	Nombre	Descripción
0	SYN	Inicio de conexión
1	ACK	Acknowledgment válido
2	FIN	Fin de conexión
3	RST	Reset/abort
4	ENC	Payload encriptado (siempre 1)
5	FEC	Incluye bloque FEC
6	FRAG	Paquete fragmentado
7	MPATH	Multi-path habilitado

Cuadro 15.1: Definición de bits del campo flags

### 15.3. Estructura Completa del Paquete

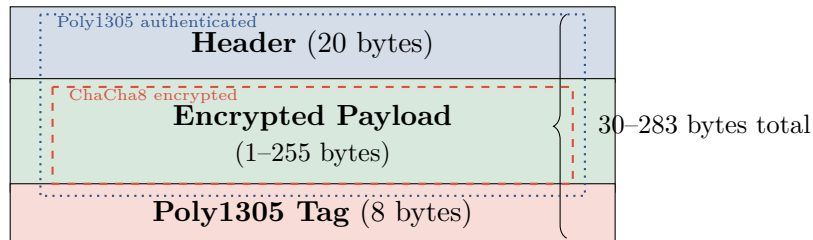


Figura 15.2: Estructura completa del paquete NERT

# Capítulo 16

## Criptografía

### 16.1. Algoritmos Utilizados

Función	Algoritmo	Parámetros
Encriptación	ChaCha8	256-bit key, 96-bit nonce
Autenticación	Poly1305	256-bit key, truncated to 64-bit
Key Derivation	ChaCha8-based PRF	Master key + epoch

Cuadro 16.1: Algoritmos criptográficos de NERT

### 16.2. Derivación de Claves

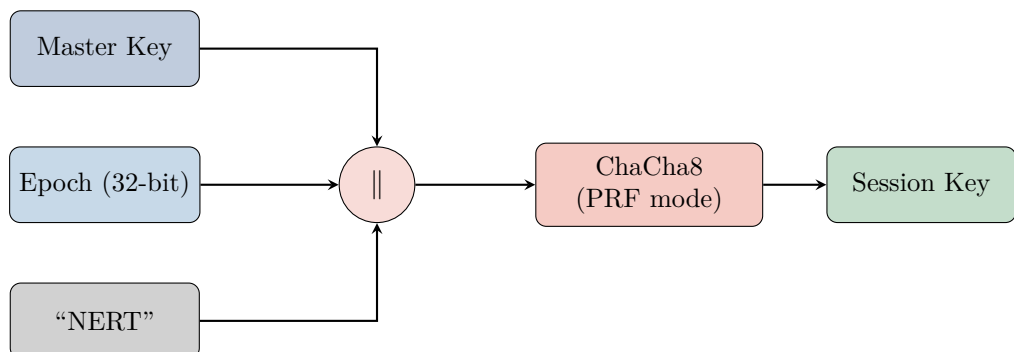


Figura 16.1: Proceso de derivación de clave de sesión

### 16.3. Ventana de Gracia para Rotación de Claves

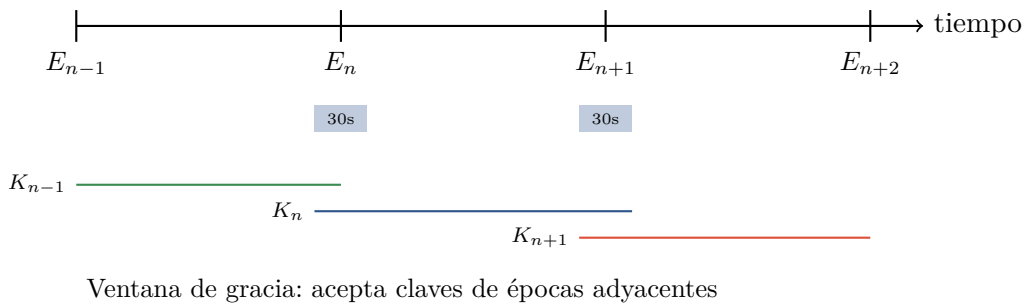


Figura 16.2: Mecanismo de ventana de gracia para rotación de claves

#### Problema de Sincronización

Sin sincronización de tiempo, nodos con relojes desincronizados podrían rechazar paquetes válidos en el cambio de época. La ventana de gracia de 30 segundos permite tolerancia a drift de hasta  $\pm 30$ s entre nodos.

### 16.4. Construcción del Nonce

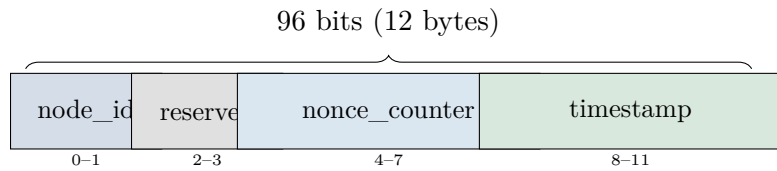


Figura 16.3: Estructura del nonce de 96 bits

# Capítulo 17

## Mecanismos de Confiabilidad

### 17.1. Máquina de Estados de Conexión

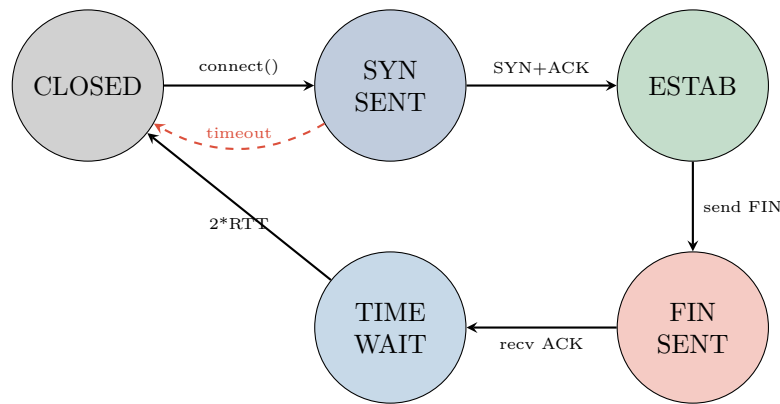


Figura 17.1: Máquina de estados de conexión NERT (simplificada)

### 17.2. Two-Way Handshake

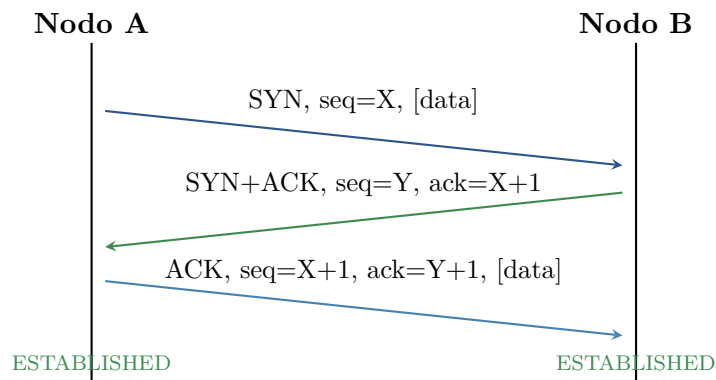
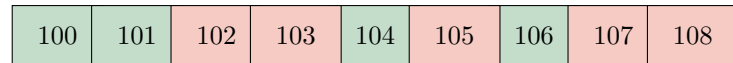


Figura 17.2: Handshake de dos vías de NERT

### 17.3. Selective ACK (SACK)

El SACK permite indicar eficientemente qué paquetes se han recibido:



Recibido      Perdido

SACK: base\_ack=101, bitmap=0b00101001  
→ Indica: 101 (base), 102×, 103×, 104✓, 105×, 106✓

Figura 17.3: Ejemplo de Selective ACK

#### 17.4. Retransmisión con Backoff Exponencial

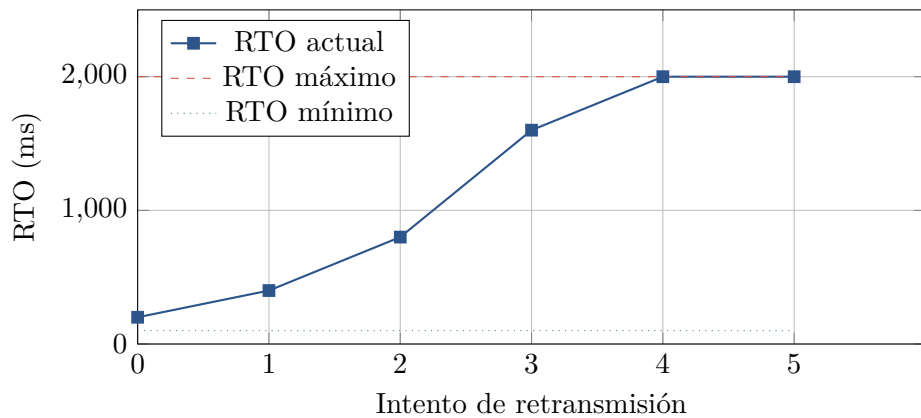


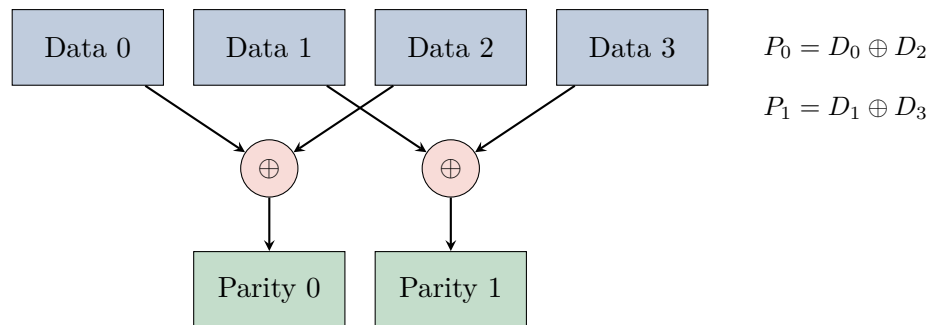
Figura 17.4: Crecimiento del RTO con backoff exponencial

# Capítulo 18

## Forward Error Correction

### 18.1. Esquema XOR Parity

Para la clase CRITICAL, NERT utiliza FEC basado en XOR:



Recuperación:  $D_0 = P_0 \oplus D_2$ ,  $D_2 = P_0 \oplus D_0$ , etc.

Figura 18.1: Esquema FEC con paridad XOR

### 18.2. Capacidad de Recuperación

Pérdida	Recuperable?
1 data shard cualquiera	✓ Sí
2 data shards (grupos diferentes)	✓ Sí
2 data shards (mismo grupo)	✗ No
3+ data shards	✗ No

Cuadro 18.1: Capacidad de recuperación del FEC



# Capítulo 19

## Multi-Path Transmission

### 19.1. Selección de Rutas

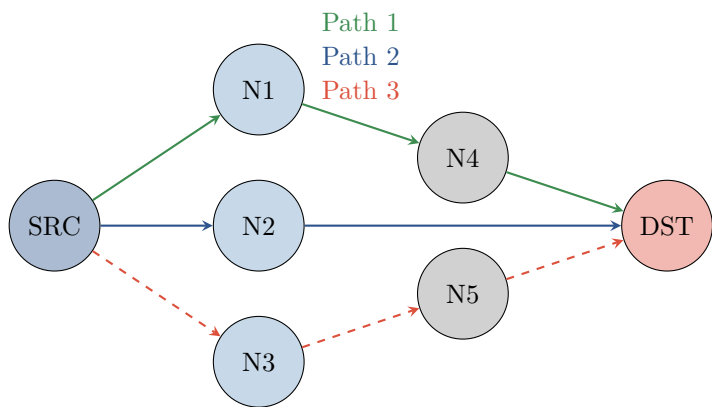


Figura 19.1: Transmisión multi-path con rutas diversas



# Capítulo 20

## Hive Bridge: Integración con micrOS

### 20.1. Arquitectura del Enjambre Híbrido

El **Hive Bridge** permite la comunicación bidireccional entre nodos NanOS (obreras) y micrOS (reina). Esta arquitectura híbrida combina:

- **micrOS**: Sistema operativo distribuido completo actuando como reina
- **NanOS**: Nodos desechables actuando como obreras del enjambre

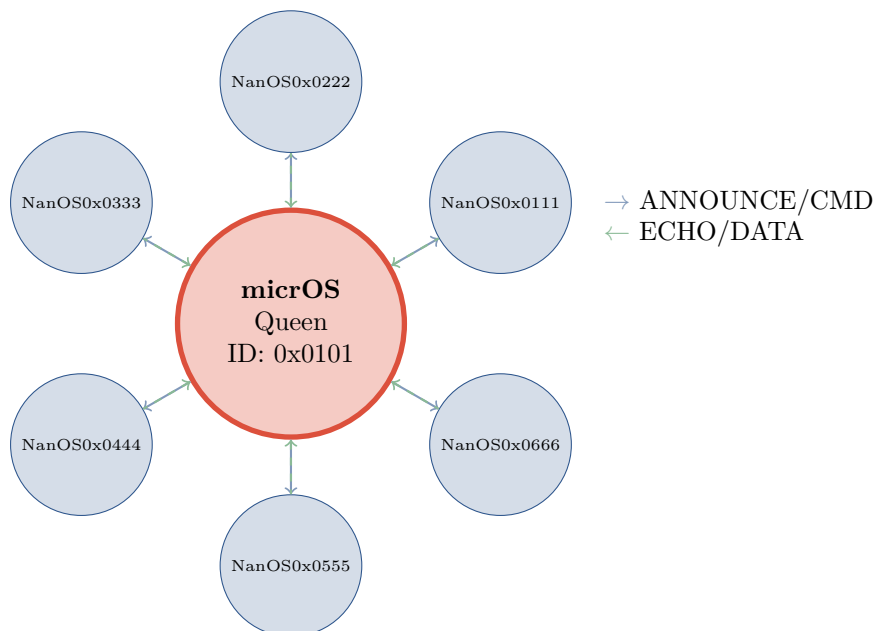


Figura 20.1: Arquitectura Hive: micrOS como Queen coordinando nodos NanOS

### 20.2. Detección de la Reina

Cuando un nodo NanOS detecta un paquete ANNOUNCE de micrOS:

```
1 void on_announce_received(uint16_t sender_id, const void *data, uint8_t
2   len) {
3     announce_data_t *announce = (announce_data_t*)data;
4     // micrOS se anuncia con role = ROLE_QUEEN y distance = 0
```

```

5   if (announce->role == ROLE_QUEEN && announce->distance == 0) {
6     // Encontramos la reina!
7     g_queen_id = sender_id;
8     g_distance_to_queen = 1; // Directo a la reina
9
10    LOG_INFO("HIVE", "Queen detected: 0x%04x", sender_id);
11
12    // Actualizar gradiente
13    update_gradient(sender_id, 0);
14  }
15}

```

Listing 20.1: Detección de micrOS como reina

### 20.3. Servicio NERT en micrOS

micrOS implementa un servicio NERT que:

1. **PHY Adapter:** Traduce entre el stack DOD de micrOS y NERT
2. **Swarm State:** Mantiene estado de todos los nodos del enjambre
3. **Polling:** Procesa feromonas incluso sin scheduler activo

```

1 typedef struct {
2   swarm_node_entry_t nodes[32]; /* Nodos conocidos */
3   uint32_t node_count;
4   swarm_metrics_t metrics;      /* Metricas agregadas */
5   uint16_t local_node_id;       /* ID de micrOS (queen) */
6   uint8_t initialized;
7   uint8_t running;
8 } swarm_state_t;

```

Listing 20.2: Estructura del estado del swarm en micrOS

### 20.4. Comunicación Bidireccional

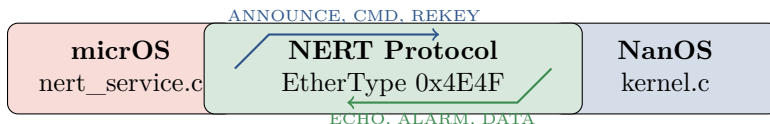


Figura 20.2: Flujo de comunicación entre micrOS y NanOS vía NERT

### 20.5. Polling en micrOS

Cuando el scheduler de micrOS no está activo, el shell debe pollear manualmente:

```

1 // En micrOS shell.c
2 void shell_run(void) {
3   while (g_running) {
4     char c = keyboard_getchar_nonblock();
5     if (c != 0) {
6       shell_input_char(c);

```

```

7   }
8
9   // Critico: Poll NERT para comunicacion con swarm
10  nert_service_poll();
11
12  shell_cpu_halt();
13 }
14 }
```

Listing 20.3: Polling de NERT en el shell de micrOS

**Importante**

Sin el polling manual, micrOS no procesará pheromones entrantes de los nodos NanOS cuando el scheduler no esté realizando context switches.

## 20.6. Verificación de Conectividad

Para verificar que NanOS detecta a micrOS como reina:

```

1 [NERT] RX pheromone: type=0x01 from=0x0101 dist=0
2 [HIVE] Queen detected: 0x0101
3 [GRADIENT] Updated: queen=0x0101 distance=1
4
5 # Status command shows:
6 > status
7 Node ID: 0xA01
8 Role: WORKER
9 Queen: 0x0101
10 Distance: 1
11 Uptime: 42s
```

Listing 20.4: Salida esperada en NanOS

## 20.7. Comandos de la Reina

micrOS puede enviar comandos a los nodos NanOS mediante pheromones COMMAND:

Código	Comando	Descripción
0x01	ROLE_ASSIGN	Cambiar rol del nodo
0x02	TASK_EXEC	Ejecutar tarea específica
0x03	CONFIG_SET	Modificar configuración
0x10	STATUS_REQ	Solicitar status del nodo
0x13	DIE	Ordenar apoptosis

Cuadro 20.1: Comandos de la reina a nodos worker



## **Parte III**

# **Guía de Implementación**



# Capítulo 21

## Compilación y Despliegue

### 21.1. Requisitos

Componente	Versión Mínima
GCC (x86)	9.0
ARM GCC	arm-none-eabi-gcc 10.0
QEMU	6.0
PlatformIO	6.0 (para ESP32)
Make	4.0

Cuadro 21.1: Requisitos de compilación

### 21.2. Compilación x86

```
1 # Compilar kernel
2 make clean
3 make PLATFORM=x86
4
5 # Ejecutar en QEMU (3 nodos)
6 ./scripts/run_swarm.sh 3
```

Listing 21.1: Compilación para QEMU x86

### 21.3. Compilación ARM

```
1 # Compilar para Stellaris
2 make PLATFORM=arm
3
4 # Ejecutar en QEMU
5 qemu-system-arm -M lm3s6965evb \
6   -kernel build/nanos_arm.elf \
7   -nographic
```

Listing 21.2: Compilación para ARM Cortex-M3

### 21.4. Compilación ESP32

```
1 cd platforms/esp32
2 pio run -e esp32dev
3
4 # Flash al dispositivo
5 pio run -t upload
```

Listing 21.3: Compilación con PlatformIO

## Capítulo 22

# API de Programación

### 22.1. Inicialización

```
1 #include "nert.h"
2 #include "nanos.h"
3
4 void handle_pheromone(uint16_t sender, uint8_t type,
5                         const void *data, uint8_t len) {
6     switch (type) {
7         case PHEROMONE_HELLO:
8             neighbor_update(sender, data);
9             break;
10        case PHEROMONE_QUEEN_CMD:
11            execute_command(data);
12            break;
13        // ... otros tipos
14    }
15 }
16
17 void kernel_main(void) {
18     hal_init();
19     nert_init();
20     nert_set_receive_callback(handle_pheromone);
21
22     while (1) {
23         nert_process_incoming();
24         nert_timer_tick();
25         nert_check_key_rotation();
26
27         // Logica de aplicacion
28         process_role_logic();
29
30         hal_cpu_idle();
31     }
32 }
```

Listing 22.1: Inicialización típica de NERT

### 22.2. Envío de Mensajes

```
1 // Telemetria frecuente (no garantizada)
2 struct sensor_data sensor = { .temp = 25, .humidity = 60};
```

```
3 nert_send_unreliable(0, PHEROMONE_SENSOR, &sensor, sizeof(sensor));  
4  
5 // Datos importantes (con retry)  
6 struct kv_pair kv = {.key = "status", .value = "active"};  
7 nert_send_best_effort(dest_id, PHEROMONE_KV_SET, &kv, sizeof(kv));  
8  
9 // Comando que requiere ACK  
10 struct task_cmd task = {.action = ACTION_EXPLORE, .area = 5};  
11 int conn = nert_send_reliable(worker_id, PHEROMONE_TASK,  
12                                &task, sizeof(task));  
13  
14 // Comando critico (FEC + multipath)  
15 struct die_cmd die = {.target = rogue_node, .reason = SECURITY};  
16 nert_send_critical(target_id, PHEROMONE_DIE, &die, sizeof(die));
```

Listing 22.2: Ejemplos de envío con diferentes clases

# Capítulo 23

## Debugging y Monitoreo

### 23.1. Estadísticas de NERT

```
1 const struct nert_stats *stats = nert_get_stats();  
2  
3 printf("TX: %lu packets, %lu bytes\n",  
4        stats->tx_packets, stats->tx_bytes);  
5 printf("RX: %lu packets, %lu duplicates\n",  
6        stats->rx_packets, stats->rx_duplicates);  
7 printf("Retransmits: %lu\n", stats->tx_retransmits);  
8 printf("Bad MAC: %lu, Replay blocked: %lu\n",  
9        stats->rx_bad_mac, stats->rx_replay_blocked);  
10 printf("RTT: avg=%u, min=%u, max=%u\n",  
11       stats->avg_rtt, stats->min_rtt, stats->max_rtt);
```

Listing 23.1: Acceso a estadísticas de protocolo

### 23.2. Métricas Clave

Métrica	Valor Normal	Alerta Si
Duplicates/RX	< 5 %	> 20 %
Bad MAC rate	< 0.1 %	> 1 %
Retransmit rate	< 10 %	> 30 %
Avg RTT	< 100ms	> 500ms
Connection timeouts	0	> 5/min

Cuadro 23.1: Umbrales de métricas para monitoreo



## Apéndice A

# Constantes de Configuración

Constante	Valor	Descripción
NERT_MAGIC	0x4E	Byte mágico ('N')
NERT_VERSION	0x10	Versión del protocolo
NERT_KEY_SIZE	32	Tamaño de clave en bytes
NERT_NONCE_SIZE	12	Tamaño de nonce en bytes
NERT_MAC_SIZE	8	Tamaño de tag MAC
NERT_MAX_CONNECTIONS	4–8	Conexiones simultáneas
NERT_WINDOW_SIZE	2–4	Tamaño de ventana TX
NERT_RETRY_TIMEOUT_MS	200	Timeout inicial
NERT_MAX_RETRIES	5	Reintentos (RELIABLE)
NERT_MAX_RETRIES_CRITICAL	10	Reintentos (CRITICAL)
NERT_KEY_ROTATION_SEC	3600	Rotación de clave (1h)
NERT_KEY_GRACE_WINDOW_MS	30000	Ventana de gracia (30s)
BLOOM_BITS	256	Bits del Bloom filter
BLOOM_SLOTS	4	Slots rotativos
BLOOM_WINDOW_MS	500	Ventana por slot
MAX_CELL_LIFETIME	3600000	Vida máxima del nodo (ms)
HEAP_CRITICAL_PCT	90	Umbral crítico de heap

### Enrutamiento Hebbiano (v0.5)

SYNAPSE_WEIGHT_MIN	1	Peso sináptico mínimo
SYNAPSE_WEIGHT_MAX	255	Peso sináptico máximo
SYNAPSE_WEIGHT_INITIAL	128	Peso inicial (neutral)
SYNAPSE_WEIGHT_THRESHOLD	32	Umbral para ruta saludable
SYNAPSE_LTP_INCREMENT	15	Recompensa por éxito (LTP)
SYNAPSE_LTD_DECREMENT	40	Castigo por fallo (LTD)
SYNAPSE_STDP_BONUS	5	Bonus por respuesta rápida
SYNAPSE_STDP_WINDOW_MS	100	Ventana STDP (ms)
SYNAPSE_DECAY_INTERVAL_MS	5000	Intervalo de decaimiento
SYNAPSE_DECAY_AMOUNT	1	Decremento por intervalo

### Stigmergia (v0.5)

STIGMERGIA_DANGER	0	Tipo: zona de peligro
STIGMERGIA_QUEEN	1	Tipo: camino a reina
STIGMERGIA_RESOURCE	2	Tipo: marcador de recurso
STIGMERGIA_AVOID	3	Tipo: zona a evitar

Continúa en la siguiente página...

## APÉNDICE A. CONSTANTES DE CONFIGURACIÓN

---

Constante	Valor	Descripción
STIGMERGIA_INTENSITY_MAX	15	Intensidad máxima (4 bits)
STIGMERGIA_DECAY_INTERVAL_MS	1000	Decaimiento cada 1s
STIGMERGIA_DECAY_AMOUNT	1	Resta 1 por intervalo
STIGMERGIA_PROPAGATE_THRESHOLD	6	Min intensidad para propagar
STIGMERGIA_PROPAGATE_DECAY	3	Decremento al propagar
STIGMERGIA_DANGER_COST_MULT	8	Multiplicador costo DANGER
STIGMERGIA_AVOID_COST_MULT	4	Multiplicador costo AVOID
STIGMERGIA_QUEEN_COST_BONUS	2	Bonus atracción QUEEN
STIGMERGIA_SIZE	16	Grid 16x16 (escala 2:1)
<b>Black Box (v0.5)</b>		
BLACKBOX_MAX_WILLS	8	Testamentos almacenados
DEATH_NATURAL	0x00	Muerte natural (timeout)
DEATH_HEAP_EXHAUSTED	0x01	Sin memoria
DEATH_CORRUPTION	0x02	Corrupción detectada
DEATH_ATTACK_DETECTED	0x03	Bajo ataque
DEATH_QUEEN_ORDER	0x04	Orden de la reina
DEATH_ISOLATION	0x05	Sin contacto
EVENT_BAD_MAC	0x01	MAC inválido
EVENT_REPLAY	0x02	Intento de replay
EVENT_RATE_LIMIT	0x03	Rate limit excedido
EVENT_BLACKLIST	0x04	Nodo en blacklist
EVENT_JAMMING	0x05	Jamming detectado
EVENT_CORRUPTION	0x06	Corrupción memoria
<b>Sistema Inmune Artificial AIS (v0.6)</b>		
AIS_DETECTOR_COUNT	16	Detectores activos
AIS_DETECTOR_SIZE	8	Bytes por patrón
AIS_AFFINITY_THRESHOLD	6	Bits contiguos para match
AIS_MATURATION_SAMPLES	32	Muestras para maduración
AIS_THYMUS_DURATION_MS	5000	Fase thymus (5s)
AIS_DETECTOR_LIFESPAN_MS	300000	Vida del detector (5min)
AIS_ANOMALY_THRESHOLD	3	Detectores para alarma
AIS_MEMORY_CELLS	4	Detectores de memoria
AIS_MEMORY_BOOST	2	Boost para memoria
AIS_DETECT_FLOOD	0x01	Detección: DoS/flooding
AIS_DETECT_PROBE	0x02	Detección: escaneo
AIS_DETECT_REPLY	0x03	Detección: replay
AIS_DETECT_INJECTION	0x04	Detección: inyección
AIS_DETECT_BEHAVIORAL	0x05	Detección: comportamiento
AIS_DETECT_SYBIL	0x06	Detección: sybil
AIS_DETECT_UNKNOWN	0xFF	Detección: 0-day
EVENT_AIS_DETECTOR_MATCH	0x10	Detector matcheo
EVENT_AIS_THYMUS_COMPLETE	0x11	Maduración completa
EVENT_AIS_MEMORY_PROMOTE	0x12	Promovido a memoria
EVENT_AIS_ANOMALY_ALERT	0x13	Alerta de anomalía
<b>Polimorfismo de Código “El Camaleón” (v0.6)</b>		
POLY_ASRL_STACK_BITS	8	Bits de entropía stack (256 bases)
POLY_ASRL_HEAP_BITS	6	Bits de entropía heap (64 bases)

*Continúa en la siguiente página...*

Constante	Valor	Descripción
POLY_ASLR_ALIGNMENT	16	Alineación ARM (bytes)
POLY_STACK_OFFSET_MAX	4096	Max offset stack (bytes)
POLY_HEAP_OFFSET_MAX	1024	Max offset heap (bytes)
POLY_CANARY_SIZE	4	Tamaño del canary (32 bits)
POLY_CANARY_CHECK_INTERVAL	100	Verificar cada N ticks
POLY_CANARY_REFRESH_MS	60000	Refrescar cada 60s
POLY_SIGNATURE_SIZE	16	Firma única (128 bits)
POLY_SIGNATURE_REFRESH_MS	300000	Refrescar firma cada 5min
POLY_JITTER_MIN_US	10	Jitter mínimo ( $\mu$ s)
POLY_JITTER_MAX_US	100	Jitter máximo ( $\mu$ s)
POLY_NOP_REGIONS	4	Regiones NOP randomizables
POLY_NOP_MAX_SIZE	8	NOPs máximos por región
POLY_STATE_UNINITIALIZED	0x00	Estado: sin inicializar
POLY_STATE_INITIALIZING	0x01	Estado: inicializando
POLY_STATE_ACTIVE	0x02	Estado: activo
POLY_STATE_COMPROMISED	0xFF	Estado: canary violado

#### Validación de Hardware “El Centinela del Silicio” (v0.6)

HWVAL_TICK_INTERVAL_MS	100	Intervalo de verificación (ms)
HWVAL_TEMP_MIN_C	-40	Temperatura mínima (°C)
HWVAL_TEMP_MAX_C	85	Temperatura máxima (°C)
HWVAL_TEMP_DELTA_MAX	10	Max cambio temp/segundo
HWVAL_VOLTAGE_MIN_MV	2700	Voltaje mínimo (mV)
HWVAL_VOLTAGE_MAX_MV	3600	Voltaje máximo (mV)
HWVAL_VOLTAGE_DELTA_MAX	100	Max cambio voltaje/tick
HWVAL_CLOCK_TOLERANCE_PCT	5	Tolerancia drift (%)
HWVAL_CLOCK_GLITCH_THRESH	3	Glitches antes de alarma
HWVAL_MEM_CANARY_COUNT	4	Canaries de memoria
HWVAL_MEM_CANARY_MAGIC	0xC0DEBABA	Valor mágico canary
HWVAL_FLASH_CRC_BLOCKS	8	Bloques flash verificados
HWVAL_ANOMALY_THRESHOLD	3	Anomalías para crítico
HWVAL_STATE_CALIBRATING	0x01	Estado: calibrando
HWVAL_STATE_ACTIVE	0x02	Estado: activo
HWVAL_STATE_SUSPICIOUS	0x03	Estado: sospechoso
HWVAL_STATE_COMPROMISED	0xFF	Estado: comprometido
EVENT_HWVAL_TEMP_VIOLATION	0x20	Violación temperatura
EVENT_HWVAL_VOLTAGE_GLITCH	0x21	Glitch de voltaje
EVENT_HWVAL_CLOCK_ANOMALY	0x22	Anomalía de reloj
EVENT_HWVAL_MEM_CORRUPT	0x23	Memoria corrompida
EVENT_HWVAL_FLASH_TAMPER	0x24	Flash alterado

Cuadro A.1: Constantes de configuración de NanOS/NERT



# Apéndice B

## Glosario

### **AIS (v0.6)**

Artificial Immune System. Sistema Inmune Artificial basado en el algoritmo de Selección Negativa. Detecta anomalías sin necesidad de firmas de ataques conocidos. “El sistema inmune no necesita saber cómo se ven los ataques — solo qué aspecto tiene ‘saludable’.”

### **Apoptosis**

Muerte celular programada. En NanOS, el proceso por el cual un nodo termina su ejecución de forma controlada.

### **Black Box (v0.5)**

Sistema de preservación de evidencia forense. Los nodos emiten un “testamento” antes de morir que sobrevive en vecinos de confianza.

### **Bloom Filter**

Estructura de datos probabilística para pruebas de membresía con eficiencia de espacio.

### **Canal Encubierto (v0.7)**

Covert Channel. Comunicación física a través de side-channels como LEDs (óptico) o buzzers (acústico) para entornos air-gapped donde la red tradicional no está disponible.

### **Época (Epoch)**

Período de tiempo durante el cual una clave de sesión es válida (por defecto: 1 hora).

### **FEC**

Forward Error Correction. Técnica para recuperar datos perdidos sin retransmisión.

### **Gradiente**

Campo escalar que indica la distancia a la reina, usado para enrutamiento.

### **Genetic Tuning (v0.7)**

Sintonización Genética. Sistema de auto-optimización de parámetros NERT mediante algoritmos genéticos. La Queen mantiene una población de genomas y los distribuye a sub-swarms para evaluación comparativa.

### **Genome (v0.7)**

Estructura de 32 bytes que codifica parámetros optimizables de NERT como genes evolucionables (timing, gossip, seguridad).

### **Gossip Protocol**

Protocolo de diseminación epidémica de información.

### **Grace Window**

Período en límites de época donde se aceptan claves de épocas adyacentes.

**Hardware Validation (v0.6)**

“El Centinela del Silicio”. Sistema de monitoreo continuo de integridad del hardware para detectar manipulación física, sensores comprometidos, y ataques de fault injection. Valida temperatura, voltaje, frecuencia de reloj, y memoria. “El hardware no puede mentir - pero puede ser torturado para dar falsas confesiones.”

**HMAC**

Hash-based Message Authentication Code.

**Judas Node (v0.7)**

Nodo Judas. Honeypot activo que, al detectar intrusión, finge vulnerabilidad para capturar payloads de atacantes antes de autodestruirse. Transmite evidencia forense a la Queen antes de la apoptosis.

**LTD**

Long-Term Depression. Debilitamiento de conexiones sinápticas tras eventos negativos (timeouts, fallos de entrega).

**LTP**

Long-Term Potentiation. Fortalecimiento de conexiones sinápticas tras eventos positivos (ACKs exitosos).

**Manchester Encoding (v0.7)**

Codificación donde cada bit se representa mediante una transición en mitad del período. Proporciona auto-sincronización para canales encubiertos ópticos.

**Nodo Desechable**

Nodo diseñado con vida útil limitada que regenera al morir.

**NERT**

NanOS Ephemeral Reliable Transport.

**Pheromone**

Mensaje de comunicación entre nodos del enjambre.

**Polimorfismo de Código (v0.6)**

“El Camaleón”. Sistema de diversidad binaria que hace único a cada nodo. Incluye ASLR (randomización de memoria), Stack Canaries (detección de overflow), y Binary Signatures (huella digital única). “Si un atacante compromete un nodo, ha ganado una batalla. Para comprometer el swarm, tendría que ganar miles diferentes.”

**SACK**

Selective Acknowledgment.

**STDP**

Spike-Timing Dependent Plasticity. Mecanismo donde el tiempo de respuesta afecta el aprendizaje (respuestas rápidas refuerzan más).

**Stigmergia (v0.5)**

Coordinación indirecta a través de modificación del ambiente. En NanOS, feromonas digitales que decaen con el tiempo y modifican costos de movimiento. “Las hormigas no memorizan mapas.”

**Sub-Swarm (v0.7)**

Grupo de Workers que comparten el mismo genoma durante un período de evaluación. Permite A/B testing evolutivo de configuraciones NERT.

---

**Swarm**

Conjunto de nodos comunicándose colectivamente.

**Synaptic Weight**

Peso sináptico. Valor [1-255] que representa la confiabilidad aprendida de una conexión con un vecino.

**Telemetry (v0.7)**

Métricas de rendimiento (throughput, latency, reliability, security, survival) enviadas periódicamente por Workers a Queen para evaluar fitness de genomas.

## APÉNDICE B. GLOSARIO

# Sobre Este Documento

Este manual técnico fue generado como parte del proyecto NanOS v0.7. Cubre la arquitectura del sistema operativo, el protocolo NERT diseñado específicamente para comunicación entre nodos desechables, el sistema de enrutamiento Hebbiano inspirado en neurociencia, el sistema de feromonas digitales Stigmergia, la Black Box distribuida para evidencia forense, el Sistema Inmune Artificial (AIS) para detección de ataques 0-day, el sistema de Polimorfismo de Código “El Camaleón” para diversidad binaria, la Validación de Hardware “El Centinela del Silicio” para detección de manipulación física, el sistema de Sintonización Genética para auto-optimización evolutiva de parámetros NERT, los Nodos Judas como honeypots activos para captura de inteligencia de amenazas, y los Canales Encubiertos para comunicación física en entornos air-gapped.

**NanOS Project**

Los nodos mueren, el enjambre vive.

2026